

Felelősséget  
NEM vállalok  
Hiszen csak a  
tájékoztatót  
szórnom...

E-mail:  
nikoletta @  
vijnmail.hu



Csoto: 9.11, 9.18, 9.25, 11.4, 11.13, 11.20.

matrix. ele. hurok

György József Elméleti magfizika

Újsga: Szarusformák megismerése

Nukleonok közötti kölcsönhatás

nukleonok száma  $\sim A$

minden nukleon csak a közeli nukleonokkal hat kölcsön  
nincs hatótávolsága.

2 nukleon közötti állapot: egyidejűleg egy deuteron: neutron + proton  
kötési energia  $B_d = 2,22 \text{ MeV}$   $\ll$   $B_{He} = 28,3 \text{ MeV}$

spin  $S=1$  (Plem-Gerlach)

$$\vec{\mu} = \mu_N \sum_{i=1}^A (g_i^x \vec{e}_i + g_i^z \vec{e}_i) \leftarrow \begin{matrix} \text{gíromágneses} \\ \text{együttható} \end{matrix}$$

mágneses momentum:  $\mu = 0,88 \mu_N$

mágneses:  $\mu_N = \frac{e\hbar}{2mp}$

kvadropólmomentum:  $Q = 3mb^2$  (légi)

1 cm = 100 fm  $1 \text{ fm} = 10^{-15} \text{ m}$

méret:

$$\sqrt{\langle r^2 \rangle} = 2,1 \text{ fm}$$

$$\mu_p^2 + \mu_n^2 = 0,88 \mu_N \Rightarrow \mu = 0$$

$$Q = \int_V \rho(r) (3z^2 - r^2) d^3r \quad \uparrow z \quad \uparrow \mu$$

anyag  
sűrűségeloszlása

koordináták  
z irány =  
spinirány

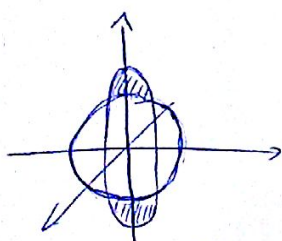
$$\rho(r) = \rho_0$$

$$Q = \int_V \rho_0 (3z^2 - r^2) r^2 \sin\theta dr d\theta d\varphi = 0$$

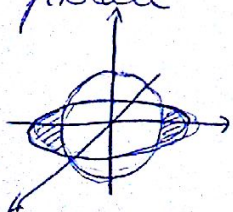
gömbös, de az sűrűség objektum

kvadropólmomentuma 0.

$\Rightarrow$  deuteron ilyen a Q értéke alapján.



írány  $z > R \Rightarrow Q > 0$   
prolate



oblate

$$z < R \Rightarrow Q < 0$$

extrem prolate:

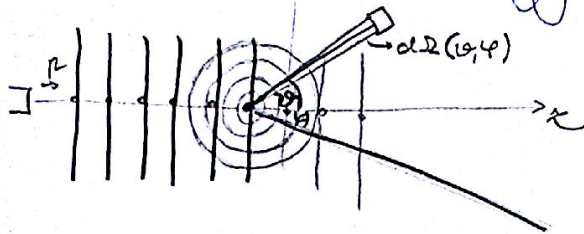
$$Q = \int (3z^2 - r^2) \cdot V \approx 20 \text{ fm}^2 = 200 \text{ mb}$$

ehhez képest  $B_d$  légi  $\Rightarrow$  légi  
mestékén deformál



de  $l=0$  gömbsimmetrikus  $\rightarrow$  kell másik impulzusmomentum komponens is.

Nincs több zótóll állapot  $\Rightarrow$  körös állapot a 2h. jellemezésére  
gyorsítóból származó a céltárgyra



$$\psi_{be} \xrightarrow{r \rightarrow \infty} e^{i2x}$$

$$\psi_{zi} \xrightarrow{r \rightarrow \infty} e^{i2x} + \underbrace{f \frac{e^{i2r}}{r}}_{\psi_{kör}}$$

Leírásukkal miatt jelöljük meg

$\delta$  ad a potenciálról információt ( $f$ )  
infinitezimális térszöggel nézve lelapogadjuk a körös állapot.

$f_{kör}^z$ : idő- és felületegységen lecsúszó  $\rightarrow$  rezekciós sebesség

$dN(\theta, \varphi)$ :  $\theta, \varphi$  megadott tartományban infinitezimális térszögben  
szóródott rezekciós sebesség

$$dN(\theta, \varphi) \equiv \int_{kör}^z \underbrace{\sigma(\theta, \varphi)}_{hám} d\Omega \quad \text{definíció!}$$

$$dN(\theta, \varphi) = \int_{kör}^z \cdot r^2 d\Omega$$

$$\vec{f} = \frac{i\hbar}{2m} (\vec{\nabla} \psi^* \psi - \psi^* \vec{\nabla} \psi)$$

$$f_{kör}^z = \frac{i\hbar}{2m} (-i2 e^{-i2r} e^{i2r} - e^{-i2r} i2 e^{i2r}) = \frac{\hbar 2}{m}$$

$$f_{kör}^r = \frac{i\hbar}{2m} \left( f^* \underbrace{\frac{-i2 e^{-i2r}}{r^2} e^{i2r}}_{r=\infty} f \frac{e^{i2r}}{r} - f^* \frac{e^{-i2r}}{r} \underbrace{\frac{i2 e^{i2r}}{r^2} e^{i2r}}_{r=\infty} f \right) = \frac{\hbar 2}{mr^2}$$

$$|f|^2 \left( -\frac{2i2}{r^2} \right)$$

$$dN(\theta, \varphi) = \frac{\hbar 2}{mr^2} |f|^2 d\Omega$$

$$dN(\theta, \varphi) = \frac{\hbar 2}{m} \sigma(\theta, \varphi) d\Omega = \frac{\hbar 2}{m} |f|^2 d\Omega$$

$$\sigma(\theta, \varphi) = |f(\theta, \varphi)|^2 \text{ körös amplitúdó } f$$



szimuláció olyan potenciálból, mely nem deformált  
mivel a beesés és a szórási más szimmetriái  $\Rightarrow$  a függő a potenciál

U-tól viszont nem függ (kegyszerűsített)

$$\psi(r) = |\psi(r)|^2$$

most az  $\Rightarrow$  Schrödinger-egyenlet megoldása a körre

$$-\frac{\hbar^2}{2m} \Delta \psi + V\psi = E\psi$$

$$-\frac{\hbar^2}{2m_1} \Delta_1 \psi(\vec{r}_1, \vec{r}_2) - \frac{\hbar^2}{2m_2} \Delta_2 \psi(\vec{r}_1, \vec{r}_2) + V(\vec{r}_1, \vec{r}_2) \psi(\vec{r}_1, \vec{r}_2) = E\psi(\vec{r}_1, \vec{r}_2)$$

leggyengébb potenciál választása:  $V_c(r = |\vec{r}_2 - \vec{r}_1|)$   
centrális

$$\vec{r} = \vec{r}_2 - \vec{r}_1$$

$$\vec{R} = \frac{m_1 \vec{r}_1 + m_2 \vec{r}_2}{m_1 + m_2} \quad m_1 + m_2 = M$$

$$\Delta = (\vec{\nabla})^2$$

$$\vec{\nabla}_{\vec{r}_1} = (-\vec{\nabla}_{\vec{r}} + \vec{\nabla}_{\vec{R}} \frac{m_1}{M})$$

$$\vec{\nabla}_{\vec{r}_2} = (\vec{\nabla}_{\vec{r}} + \vec{\nabla}_{\vec{R}} \frac{m_2}{M})$$

$$-\frac{\hbar^2}{2} \left( \frac{1}{m_1} \Delta_{\vec{r}} + \frac{1}{m_1} \frac{m_1^2}{M^2} \Delta_{\vec{R}} + \frac{1}{m_2} \Delta_{\vec{r}} + \frac{1}{m_2} \frac{m_2^2}{M^2} \Delta_{\vec{R}} + \text{derivative terms} \right)$$

$$= -\frac{\hbar^2}{2} \left( \frac{1}{m_1} + \frac{1}{m_2} \right) \Delta_{\vec{r}} - \frac{\hbar^2}{2M} \Delta_{\vec{R}}$$

$$\frac{1}{\mu} \quad \text{redukált tömeg: } \mu = \frac{m_1 m_2}{m_1 + m_2}$$

$$\vec{R} = 0$$

TKP rendszerben relatív mozgás

$$-\frac{\hbar^2}{2\mu} \Delta_{\vec{r}} \psi(\vec{r}) + V_c(r) \psi(\vec{r}) = E \psi(\vec{r})$$

$\psi(\vec{r}) = R(r) Y(\vartheta, \varphi)$  mivel centrális a potenciál.

$$\Delta_{\vec{r}} = \Delta_r + \Delta_{\vartheta, \varphi}$$

$$-\frac{\hbar^2}{2\mu} \left( (A_r R(r)) Y + R(\Delta_{\vartheta, \varphi} Y) \right) + V R Y = E R Y$$

$Y$  mindenhol x-szerű, ezért itt  $\Rightarrow$  legyen  $\Delta_{\vartheta, \varphi}$  saját.

figyelem

$$\Delta_{\vartheta, \varphi} Y_{lm}(\vartheta, \varphi) = -\frac{L(L+1)}{r^2} Y_{lm}(\vartheta, \varphi)$$

gömbfüggvények

$$(L^2 = -r^2 \Delta_{\vartheta, \varphi})$$

Most már mindenhol x-szerű  $\Rightarrow$  egyenletet lehet írni



$$-\frac{\hbar^2}{2\mu} \left( \Delta_r R - \frac{l(l+1)}{r^2} R \right) + VR = ER$$

$$\Delta_r f(r) = \frac{1}{r} \frac{\partial^2}{\partial r^2} (f r)$$

$$-\frac{\hbar^2}{2\mu} \left( (Rr)'' - \frac{l(l+1)}{r^2} Rr \right) + VRr = ERr$$

$$u(r) = R(r)r$$

$$-\frac{\hbar^2}{2\mu} (u'' - \frac{l(l+1)}{r^2} u) + Vu = Eu$$

$$E = \frac{p^2}{2\mu} = \frac{\hbar^2 k^2}{2\mu}$$

neutron és proton tömege  $\approx 1 \frac{\text{GeV}}{c^2}$  ehhez képest  
minden más tömeg  $\Rightarrow$  nem relativisztikus

$$u'' + \left( k^2 - \frac{l(l+1)}{r^2} \right) u - \frac{2\mu}{\hbar^2} V(r)u(r) = 0$$

$$\bullet V=0, l=0$$

$$u'' + k^2 u = 0 \quad u'' = -k^2 u$$

$$u = A \sin kr + B \cos kr$$

ha nem szinguláris  $\Rightarrow u = \sin(kr)$

$$\bullet V=0, l \neq 0$$

asimptotikus m. o. használó

$$u \xrightarrow{r \rightarrow \infty} \sin(kr - l \frac{\pi}{2})$$

(Döcöl- egyenlet jelleg miatt)

$$u \xrightarrow{r \rightarrow \infty} \sin(kr)$$

$$\bullet V \neq 0, l \neq 0, V \rightarrow 0 \text{ as } r \rightarrow \infty$$

$$u \xrightarrow{r \rightarrow \infty} \sin(kr - l \frac{\pi}{2} + \delta_l)$$

fixizálva, adott  $l$ -hez

$\delta_l$  adja az információt a potenciálról,  
hiszen itt lesz  $V \neq 0$ .

$$\psi = \frac{u}{r} \cdot Y$$

$$(\psi) \sum_{l=0}^{\infty} A_l \frac{1}{r} \sin(kr - l \frac{\pi}{2} + \delta_l) Y_{lm}(r, \varphi) = e^{i k x} + f \frac{e^{i k r}}{r}$$

akkor nem függ  $\varphi$ -tól a függvény, ha  $m=0$

$$Y_{l,0}(r) = \sqrt{\frac{2l+1}{4\pi}} P_l(\cos \theta)$$

Legendre-polinomok  
A-e része lesz.

$$\sin(kr - l \frac{\pi}{2} + \delta_l) = \frac{1}{2i} \left( e^{i(kr - l \frac{\pi}{2} + \delta_l)} - e^{-i(kr - l \frac{\pi}{2} + \delta_l)} \right)$$

$$e^{i k x} = \cos k x + i \sin k x$$

$$e^{-i k x} = -i \sin k x + \cos k x$$



$$\sum_{\ell=0}^{\infty} A_{\ell} \frac{1}{2i\tau} \left( e^{i2\tau - i\ell\frac{\pi}{2} + i\ell\tilde{\phi}} - e^{-i2\tau + i\ell\frac{\pi}{2} - i\ell\tilde{\phi}} \right) P_{\ell}(\cos\theta)$$

$V=0$  -ra,  $r \rightarrow \infty$  -ben  $e^{i2\tau}$  és  $\frac{e^{i2\tau}}{r}$  is megoldás  
tehát teljes rendszert adhatunk  $\Rightarrow e^{i2\tau}$  előállítható  
gömbhullámmal.

$$e^{i2\tau} = \frac{1}{2i\tau} \sum_{\ell=0}^{\infty} (e^{i2\tau} + (-1)^{\ell+1} e^{-i2\tau}) P_{\ell}(\cos\theta) (2\ell+1)$$

$$\begin{aligned} \sum_{\ell=0}^{\infty} A_{\ell} \frac{1}{2i\tau} \left( e^{i2\tau - i\ell\frac{\pi}{2} + i\ell\tilde{\phi}} - e^{-i2\tau + i\ell\frac{\pi}{2} - i\ell\tilde{\phi}} \right) P_{\ell}(\cos\theta) &= \\ &= \frac{1}{2i\tau} \sum_{\ell=0}^{\infty} (e^{i2\tau} + (-1)^{\ell+1} e^{-i2\tau}) P_{\ell}(\cos\theta) + f(\tau) \frac{e^{i2\tau}}{r} \end{aligned}$$

$A_{\ell}$  és  $f(\tau)$  ismeretlen

legyenek olyanok, hogy  $e^{-i2\tau}$ -es tagok egyáltalán se  
legyenek.

$$\begin{aligned} -A_{\ell} \frac{1}{2i\tau} e^{i\ell\frac{\pi}{2} - i\ell\tilde{\phi}} P_{\ell}(\cos\theta) &= \frac{1}{2i\tau} (2\ell+1) (-1)^{\ell+1} P_{\ell}(\cos\theta) \\ A_{\ell} &= -\frac{1}{2} (2\ell+1) (-1)^{\ell+1} e^{-i\ell\frac{\pi}{2} + i\ell\tilde{\phi}} \\ e^{-i\ell\frac{\pi}{2}} &= (e^{-i\frac{\pi}{2}})^{\ell} = (-i)^{\ell} \end{aligned}$$

$$A_{\ell} = \frac{1}{2} e^{i\ell\tilde{\phi}} (-i)^{\ell} (2\ell+1)$$

$$\frac{1}{r} f(\tau) = \sum_{\ell=0}^{\infty} \left( A_{\ell} \frac{1}{2i\tau} e^{-i\ell\frac{\pi}{2} + i\ell\tilde{\phi}} - \frac{2\ell+1}{2i\tau} \right) P_{\ell}(\cos\theta)$$

$A_{\ell}$  beírása

$$e^{2i\ell\tilde{\phi}} - 1 = 2i \sin\ell\tilde{\phi} e^{i\ell\tilde{\phi}}$$

$$f(\tau) = \frac{1}{2} \sum_{\ell=0}^{\infty} (2\ell+1) e^{i\ell\tilde{\phi}} \sin\ell\tilde{\phi} P_{\ell}(\cos\theta)$$

$$|f|^2 = 6$$

numerikus m.o. nagy távolságra sin. fázistolás  
adja  $\tilde{\phi} \rightarrow 0$  -t  $\rightarrow$  ugyanannyi kell lenni mint ami a  
közvetlenben kapott  $|f|^2$ -ből jön.



$$\sigma_{\text{avg}} = \int \sigma(v) d\Omega = \frac{4\pi}{2} \sum_{\ell=0}^{\infty} (2\ell+1) \sin^2 \delta_{\ell}$$

$$f(v) = \frac{1}{2} \sum_{\ell=0}^{\infty} (2\ell+1) e^{i\delta_{\ell}} \sin \delta_{\ell} P_{\ell}(\cos v)$$

$$\sigma(v) = |f(v)|^2 = f(v) f^*(v) \Rightarrow \int P_{\ell}^* P_{\ell'} d\Omega = \frac{4\pi}{2\ell+1} \delta_{\ell\ell'}$$

$$\sqrt{\frac{4\pi}{2\ell+1}} Y_{\ell 0} \sqrt{\frac{4\pi}{2\ell'+1}} Y_{\ell' 0}$$

$\sigma$  mérete  $\Rightarrow f$ ?  $\Leftarrow \delta_{\ell}$  számokba  
rejtelen sor?

$$\vec{p} \rightarrow \vec{k}$$

$$L_{\text{class}}^2 = p^2 v^2 \geq \ell(\ell+1) \hbar^2$$

Correspondencia

$$E = \frac{2\mu c^2 v^2}{\hbar^2 c^2} \geq \ell(\ell+1)$$

2. kvantum mechanika tömeges részecskéi energiája

$$E = \frac{p^2}{2\mu}$$

$$\hbar c = 197 \text{ MeV fm}$$

$$\mu = \frac{m_1 m_2}{m_1 + m_2} = \frac{m}{2}$$

$$\approx \frac{E \cdot 10^3 \text{ MeV} \cdot 10 \text{ fm}^2}{4 \cdot 10^4 \text{ MeV}^2 \text{ fm}^2} \geq \ell(\ell+1)$$

$$0,25 E [\text{MeV}] \geq \ell(\ell+1)$$

10 MeV

$$2,5 \geq \ell(\ell+1)$$

$$\ell = 0, 1$$

100 MeV

$$25 \geq \ell(\ell+1)$$

$$\ell = 0, 1, 2, 3, 4$$

Nagyon nagy energián is csak pár tagú ez a "vegtelen" összeg

Mivel nagyobb energiájú a részecske, annál kisebb a hatása a potenciálnak, annál kisebb perturbáció

"

olyan, mintha ott se lenne a potenciál

"

egyre kisebb a fázistolás

alacsony energián nem jönnek a magasrendű parciális hullámok

magas energián viszont nagyon kicsi a hatása, azaz gyengébbé válik.



A nukleonok is fermionok.

Teljes hullámfüggvényre Pauli-elv:

$$\Psi(2,1) = -\Psi(1,2) \Rightarrow \Psi(1,2) = \underbrace{\chi_L(\vec{r} = \vec{r}_2 - \vec{r}_1)}_{\text{spinfü.}} \underbrace{\chi_T(1,2)}_{\text{isospin}}$$

ebben nincs benne a nukleon típusa.  
Ez az az az az. elviselel.

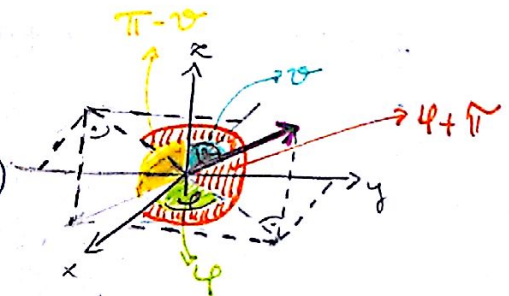
Egy nukleon van: nukleon. Belső szabadsági-foka (isospin) 2 értéket vehet fel. Legnagyobb a spinhez hasonló létszámmal rendelkező a kétállapotú rendszer.

$$\chi_L(-\vec{r}) = \mathcal{R}(\tau) \chi_{LM}(\pi - \varphi, \varphi + \pi)$$

$$1 \leftrightarrow 2 \text{ csere } \vec{r} \rightarrow -\vec{r} \quad (-1)^L \chi_{LM}(\varphi, \varphi)$$

$$\chi_L(-\vec{r}) = (-1)^L \chi_L(1,2)$$

$$\text{paritás: } \pi = (-1)^L$$



$$\chi_{S_1, S_2}(1) \quad S_1 = \frac{1}{2} \quad S_2 = \pm \frac{1}{2}$$

$$\chi_{\frac{1}{2}, \frac{1}{2}} = \begin{pmatrix} 1 \\ 0 \end{pmatrix} = |\uparrow\uparrow\rangle$$

$$\chi_{\frac{1}{2}, -\frac{1}{2}} = \begin{pmatrix} 0 \\ 1 \end{pmatrix} = |\downarrow\downarrow\rangle$$

$$\chi_{S_1, S_2}(1,2) = \sum_{\nu_1, \nu_2} \underbrace{\langle \frac{1}{2} \nu_1 \frac{1}{2} \nu_2 | S \rangle}_{\text{Clebsch-Gordan együtthatók}} \chi_{\frac{1}{2}, \nu_1}(1) \chi_{\frac{1}{2}, \nu_2}(2)$$

utolsó szabadsági-foka

$$\frac{1}{2} + \frac{1}{2} = S$$

$$|\frac{1}{2} - \frac{1}{2}| \leq S \leq \frac{1}{2} + \frac{1}{2}$$

Többször a impulzusmomentum nagyságára  $0 \leq S \leq 1$   $S = 0, 1$   
 kell gondolni.

$$\begin{aligned} \chi_{0,0}(1,2) &= \langle \frac{1}{2} \frac{1}{2} \frac{1}{2} -\frac{1}{2} | 00 \rangle \chi_{\frac{1}{2}, \frac{1}{2}}(1) \chi_{\frac{1}{2}, -\frac{1}{2}}(2) + \langle \frac{1}{2} -\frac{1}{2} \frac{1}{2} \frac{1}{2} | 00 \rangle \chi_{\frac{1}{2}, -\frac{1}{2}}(1) \chi_{\frac{1}{2}, \frac{1}{2}}(2) = \\ &= \frac{1}{\sqrt{2}} \chi_{\frac{1}{2}, \frac{1}{2}}(1) \chi_{\frac{1}{2}, -\frac{1}{2}}(2) - \frac{1}{\sqrt{2}} \chi_{\frac{1}{2}, -\frac{1}{2}}(1) \chi_{\frac{1}{2}, \frac{1}{2}}(2) \end{aligned}$$

$$\chi_{0,0}(1,2) = -\chi_{0,0}(2,1) \quad \text{antiszimmetrikus}$$

$S=0$  szinglett

$$\chi_{1,1}(1,2) = \chi_{\frac{1}{2}, \frac{1}{2}}(1) \chi_{\frac{1}{2}, \frac{1}{2}}(2)$$

$$\chi_{1,1}(1,2) = +\chi_{1,1}(2,1) \quad \text{szimmetrikus}$$



$$\chi_{1,0}(1,2) = \langle \frac{1}{2} \frac{1}{2} \frac{1}{2} - \frac{1}{2} | 10 \rangle \chi_{\frac{1}{2} \frac{1}{2}}(1) \chi_{\frac{1}{2} - \frac{1}{2}}(2) + \langle \frac{1}{2} - \frac{1}{2} \frac{1}{2} \frac{1}{2} | 10 \rangle \chi_{\frac{1}{2} - \frac{1}{2}}(1) \chi_{\frac{1}{2} \frac{1}{2}}(2)$$

$$\chi_{1,0}(2,1) = \chi_{1,0}(1,2) \quad \text{szimmetrikus}$$

$$\chi_{1,-1}(1,2) = \chi_{\frac{1}{2} - \frac{1}{2}}(1) \chi_{\frac{1}{2} - \frac{1}{2}}(2) \quad \chi_{1,-1}(1,2) = \chi_{1,-1}(2,1) \quad \text{szimmetrikus}$$

S=1 triplet állapot a deuterócode felismerhető szimmetrikus

kegyszerű

$$\chi_{\frac{1}{2} \frac{1}{2}} = \begin{pmatrix} 1 \\ 0 \end{pmatrix} = |n\rangle \quad \chi_{\frac{1}{2} - \frac{1}{2}} = \begin{pmatrix} 0 \\ 1 \end{pmatrix} = |p\rangle$$

$\uparrow$  T<sub>t</sub>  $\downarrow$  csigán  $\uparrow$  teljes  $n+n$   $t_1 = \frac{1}{2}$   $t_2 = \frac{1}{2} \Rightarrow t = \frac{1}{2} + \frac{1}{2} \Rightarrow T=1$  csak T=1-nak van t=1 vétele

Általános deuterócode izospinje:

$$\chi_{T,t}(1,2)$$

$n+p \quad t_1 = -\frac{1}{2} \quad t_2 = -\frac{1}{2} \Rightarrow t = -1 \Rightarrow T=1$

$p+n \quad t_1 = -\frac{1}{2} \quad t_2 = \frac{1}{2} \Rightarrow t = 0 \Rightarrow T=0, 1$

Teljes hullámfű:

$$\Psi(1,2) = \chi_L(\vec{r}) \chi_S(1,2) \chi_T(1,2)$$

$$\Psi(2,1) = (-1)^L \chi_L(\vec{r}) (-1)^{S+1} \chi_S(2,1) (-1)^{T+1} \chi_T(2,1) = (-1)^{L+S+T} \Psi(1,2) = (-1) \Psi(1,2) \quad \text{Pauli-elv}$$

$L+S+T$  páratlan

$\vec{J} = \vec{L} + \vec{S}$  teljes impulzusmomentum  $\Rightarrow$  magspin

$$|L-S| \leq J \leq L+S \Rightarrow |J-S| \leq L \leq J+S$$

Kelecségek állapota:

J	S	L	T	L+S+T = pártan		S=0,1
0	0	$\Rightarrow 0$	$\Rightarrow 1$	$1S_0$	$n,p,n,n,n,p$	$L=0, 1, 2, 3, \dots$
0	1	$\Rightarrow 1$	$\Rightarrow 1$	$3P_0$	"	$T=0, 1$
1	0	$\Rightarrow 1$	$\Rightarrow 0$	$1P_1$	$n+p$	
1	1	$\Rightarrow 0$	$\Rightarrow 0$	$3S_1$	deuteron $n+p$	$p+n \Rightarrow S=1$
1	1	$\Rightarrow 1$	$\Rightarrow 1$	$3P_1$	$n,p,n,n,n,p$	mágnesez momentum $L=0$
1	1	$\Rightarrow 2$	$\Rightarrow 0$	$3D_1$	$n+p$	



# Magfizika

De nem teljesen gömbesimmetriás az állapot (származékos-  
momentum).

neutron-neutron zh. öxi a paritást

$$\pi = (-1)^L \quad L=0 \Rightarrow \pi = +$$

S és L nem maradnak meg, J viszont igen.

↓  
J-quantumszám

$$\pi = + \quad J = 1$$

L= páros  $\Rightarrow$   $^3D_1$  levelel a  $^3S_1$ -hez

## Deuteron hullámf-f-e

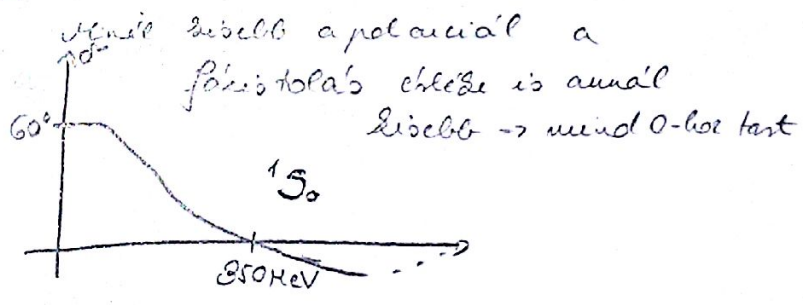
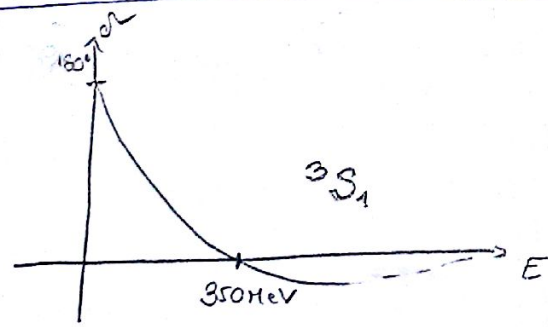
$N_{\text{deuteron}} = C_0 \psi_{L=0, S=1, T=0} + C_2 \psi_{L=2, S=1, T=0} \quad J^\pi = 1^+$

$$|C_0|^2 \approx 0,96 \quad |C_2|^2 \approx 0,04$$

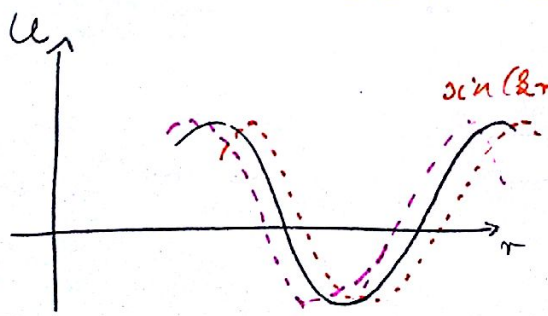
Érdekesből (nem nagyon látok)

A lévőektől 2 állapottal a legrossabb a neutron-neutron zh. Ezek minos p+p és n+n között állapok, mert a legrossabb neutron-neutron zh-ban csak n+p lehet részt.

## Fázistolás mérése extrakciós



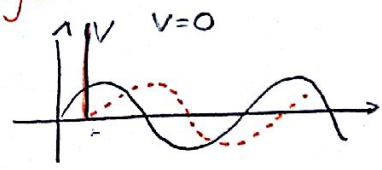
$$\delta(0) - \delta(\infty) = n\pi \text{ Levinson tétele}$$



$\sin(kr - \frac{e\pi}{2} + \delta)$   
 $\delta > 0$   
kefeli mozdul a hullámf.

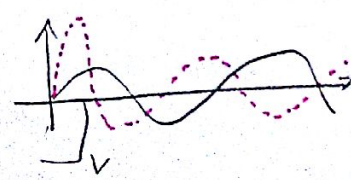
$$\sin(kr - \frac{e\pi}{2} + \delta) \quad \delta < 0$$

kefeli mozdul a hullámf.



tanús pot.

$$\delta < 0$$



szorús pot.

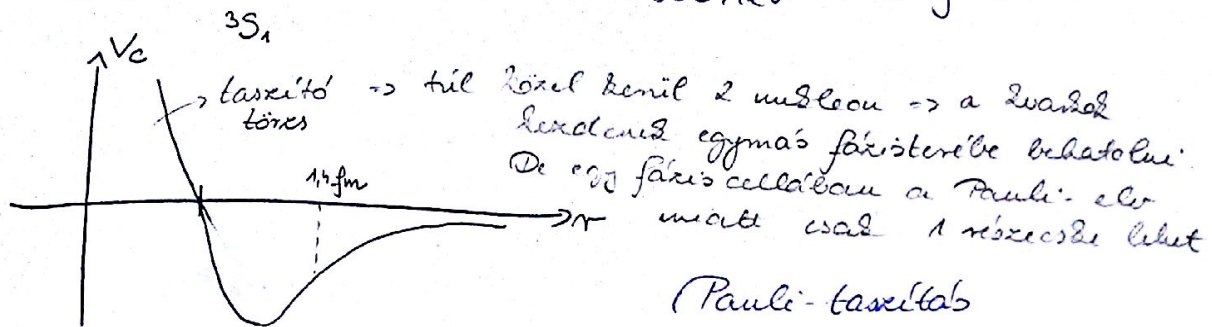
$$\delta > 0$$



$$\Delta E \Delta t \approx \hbar$$

$$\frac{\Delta E}{\Delta t} \approx \frac{\hbar}{\Delta t}$$

$$\Delta s \approx \frac{\hbar c}{\Delta E} = \frac{197 \text{ MeV fm}}{350 \text{ MeV}} \approx 0,56 \text{ fm}$$



$$V \xrightarrow{r \rightarrow \infty} \frac{1}{r} e^{-\mu r} = \text{Yukawa-potenciál}$$

$$V \xrightarrow{r \rightarrow 0} \frac{1}{r} e^{-\frac{\pi}{2}}$$

2 részecskéig hal bele, hogy összesen egy 3-at

$$\uparrow \uparrow \uparrow$$

N N N

$\Delta E \Delta t \approx \hbar$   
rövid időre megsemmíthető az energia-  
megmaradást

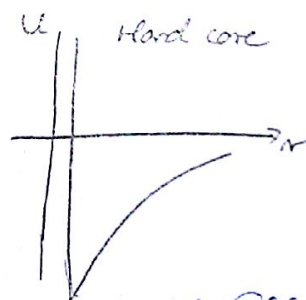
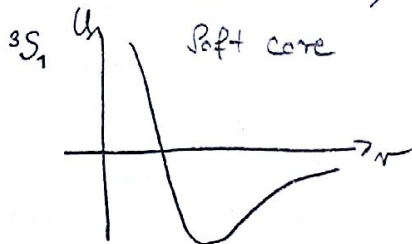
$$\Delta s = r_c \approx \frac{\hbar c}{\Delta E} = \frac{\hbar c}{m_\pi c^2} \approx 1,4 \text{ fm}$$

140 MeV

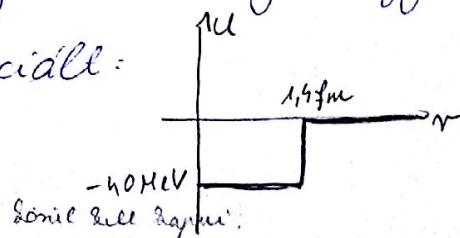
1 neutron neutron szórási vizsgálataival  $\pi$  tömege meghatározható

Reid-potenciál (1968)

Minden szórási állapotra leírtak az 2 potenciált



Oldjuk meg a Schrödinger-egyenletet! Ekkor módosítjuk  
hiszt a potenciált:



$$V = \begin{cases} -V_0 & r < b \\ 0 & r > b \end{cases}$$

$$V_0 > 0$$

$$b = 1,4 \text{ fm}$$

Radiális egyenlet

$$u'' + \left(2^2 - \frac{l(l+1)}{r^2}\right)u - \frac{2\mu}{\hbar^2}Vu = 0 \quad / \cdot \left(\frac{\hbar^2}{2\mu}\right)$$

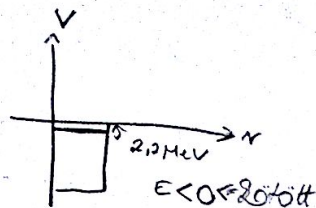


$$-\frac{\hbar^2}{2\mu} u'' - EU + \frac{\hbar^2}{2\mu} \frac{e(e+1)}{r^2} + Vu = 0$$

$$l=0$$

$$-\frac{\hbar^2}{2\mu} u''_< - V_0 u_< = E u_< \quad r < b$$

$$-\frac{\hbar^2}{2\mu} u''_> = E u_> \quad r > b$$



$$u''_< = -\frac{2\mu}{\hbar^2} (E + V_0) u_< \quad \text{M.O.} \Rightarrow \sin \text{ for}$$

$$u''_> = -\frac{2\mu E}{\hbar^2} u_> \quad \Rightarrow \exp \text{ for}$$

$$u_< = A \sin(\gamma r) + B \cos(\gamma r)$$

$$\gamma^2 = \frac{2\mu}{\hbar^2} (V_0 + E) (> 0)$$

$$u_> = C e^{-\lambda r} + D e^{\lambda r}$$

$$\lambda^2 = -\frac{2\mu E}{\hbar^2} E (> 0)$$

$$u = R \cdot r$$

origónál 0, ha csak nincs szingularitás. DE NINCS

$$B = 0 \quad D = 0 \Rightarrow \text{ne szaladjon el.}$$

$$u_<(r=b) = u_>(r=b) \Rightarrow A \sin \gamma b = C e^{-\lambda b}$$

$$u'_<(r=b) = u'_>(r=b) \Rightarrow A \gamma \cos \gamma b = -\lambda C e^{-\lambda b}$$

hányados

$$\gamma \operatorname{ctg}(\gamma b) = -\lambda$$

kise a kötött állapot energiája:

$$E \approx 0 \Rightarrow \lambda \approx 0$$

$$\gamma \operatorname{ctg}(\gamma b) = 0$$



$$\gamma = 0$$

nem lehet,  
mert akkor  
minden 0

$$\operatorname{ctg}(\gamma b) = 0$$

$$\gamma b = \frac{\pi}{2} + n\pi = \frac{\pi}{2} (2n+1) = \sqrt{\frac{2\mu}{\hbar^2} V_0} b$$

$$n = 0, 1, 2, \dots$$

növekvő n-re egyre  
mélyebb potenciál

$$n=0 \quad V_0^{n=0, l=0} \approx 52 \text{ MeV}$$

$$V_0 = \frac{\pi^2}{4b^2} (2n+1)^2 \frac{\hbar^2 c^2}{2\mu c^2} =$$

$$= \frac{\pi^2}{4 \cdot (1.4 \text{ fm})^2} \frac{(197 \text{ MeV fm})^2}{938 \text{ MeV}} (2n+1)^2 \approx 52 \text{ MeV} (2n+1)$$

$n=1 \quad V_0^{n=1, l=0} \approx 9 \cdot V_0^{n=0, l=0} \Rightarrow$  itt már lenne még egy kötött állapot. De mivel a  $V_0^{n=0, l=0}$  van  $\Rightarrow$  ezért van csak 1 kötött állapot a  $n+l=1$ -nél.



$$l=1$$

$$-\frac{\hbar^2}{2\mu} \left( u'' - \frac{l(l+1)}{r^2} u \right) + V u = E u$$

$$u_l = A \left( \frac{\sin k r}{k r} - \cos k r \right)$$

$$u_s = C \cdot e^{-2r} \left( 1 + \frac{1}{2r} \right)$$

b-ben egyenlőz és a derivált is. Ebből feltétel:

$$V_0^{n=0, l=1} = 4 V_0^{n=0, l=0}$$

Existál-e 0-s a elektron impulzusmomentumának fő komponense.

$$V_0^{l=1} = \frac{\hbar^2 \pi^2}{2\mu b^2} (n+1)^2$$

$S=1$ -re és  $S=0$ -ra is igaz amit számoltunk, de a valóságban csak  $S=1$  van.

Újpotenciál

$$V_{NN} = V_c(r) + V_s(r) \vec{\sigma}_1 \cdot \vec{\sigma}_2$$

így válasszuk, hogy bizonyos szimmetriákat teljesítsen:

- eltolás invariancia  $\vec{r}_2 - \vec{r}_1, \vec{p}_2 - \vec{p}_1$
- ne függjön az időtől
- forgás invariancia  $\rightarrow$  skalár
- tértükrözéssel szembeni invariancia (paritás megmarad)
- 2 részecske cserejére invariancia
- izotróp & tengely körüli forgatásra invariancia töltés megmarad

Leggyakoribb ilyen:  $\vec{\sigma}_1 \cdot \vec{\sigma}_2$

$$\sigma_x = \begin{pmatrix} 0 & 1 \\ 1 & 0 \end{pmatrix} \quad \sigma_y = \begin{pmatrix} 0 & -i \\ i & 0 \end{pmatrix} \quad \sigma_z = \begin{pmatrix} 1 & 0 \\ 0 & -1 \end{pmatrix}$$

$$\Psi = \chi(\vec{r}) \chi$$







$S=1 \rightarrow$  negatív kell legyen, hogy pozitív legyen  
 $V_S(r) < 0$  előző ábra alapján  $4|V_S| \geq E_d$

És a potenciál nem képes arra, hogy ionizálja a  $3s$ , és  $3d$  csatlókat.

$$\Psi = c_0 \underbrace{\Phi_{L=0, S=1, \uparrow=1}}_{3S_1} + c_2 \underbrace{\Phi_{L=2, S=1, \uparrow=1}}_{3D_1}$$

mágneses momentum      kvadrupólmomentum

$$\langle \Phi_{L=0, S=1, \uparrow=1} | V_{NN} | \Phi_{L=2, S=1, \uparrow=1} \rangle$$

$$\langle Y_{00}(\vec{r}) | \dots | Y_{2m}(\vec{r}) \rangle = 0$$

mindkét függő rész

Igy vagy az egyik tag marad meg ( $3s_1$ ) vagy a másik ( $3d_1$ )

variációs elv:

$$\langle \delta \Psi | (H-E) | \Psi \rangle = 0$$

$$\Psi = c_0 \Phi_0 + c_2 \Phi_2 \quad \delta \Psi = \delta c_0 \Phi_0 + \delta c_2 \Phi_2$$

$$\delta c_0 (\dots) + \delta c_2 (\dots) = 0$$

(függetlenül/variációk)  
 $\downarrow$   
 0 mindegyik.

$$\begin{pmatrix} (H-E)_{00} & (H-E)_{02} \\ (H-E)_{20} & (H-E)_{22} \end{pmatrix} \begin{pmatrix} c_0 \\ c_2 \end{pmatrix} = 0 \quad \text{ha ez 0-2}$$

$$(H-E)_{ij} = \langle \Phi_i | (H-E) | \Phi_j \rangle$$

2 m.o.:

$$c_0=1 \quad c_2=0$$

$$c_0=0 \quad c_2=1$$

Az energiája.

Kell a  $3d$ -ba egy olyan komponens, mely től és sűrűsől függ és összekapcsolja  $c_0$ -t és  $c_2$ -t.



$$\vec{r} = \frac{\vec{r}}{|\vec{r}|} = \begin{pmatrix} \sin\alpha \cos\varphi \\ \sin\alpha \sin\varphi \\ \cos\alpha \end{pmatrix}$$

$$\langle \chi_{10} | = \frac{1}{\sqrt{2}} \left( (1 \ 0)_1 (0 \ 1)_2 + (0 \ 1)_1 (1 \ 0)_2 \right)$$

U'ishabo' 1 jobb alatta

### klasifikasi irreducibles tensorproduct

Kinden vedder "børnende" i lyen

Yeni l-*edrendu* iljen.

$$Q_m^{(2)} = Y_{2m}(\vec{r}) \quad S_m^{(2)} = \sum_{\nu_1, \nu_2=1}^1 \langle 1 \nu_1 1 \nu_2 | 2m \rangle \overset{(1)}{G_{1\nu_1}} \overset{(1)}{G_{2\nu_2}}$$

↙ ↘  
neizakole

*A. rebeccae* *tarsozoi* Pauli  
vector  $v_1$  - longicauda

$$\tilde{G}_{j+1}^{(1)} \stackrel{\text{def}}{=} \frac{1}{\sqrt{2}} (\tilde{G}_x \pm i \tilde{G}_{x,y})$$

$$\vec{B} = (B_x, B_y, B_z)$$

$$A_0^{(1)} = A_z \quad A_{\pm 1}^{(1)} = \mp \frac{1}{\sqrt{2}} (A_x \mp i A_y)$$

$$(A^{(1)} B^{(1)}) = \sum_{m=-1}^1 (-1)^m A_m^{(1)} B_{-m}^{(1)}$$



A. Messiah: QM.

Tétel:

$$\langle L, S, M | (r^{(n)} \cdot S^{(n)}) | L', S', M', I' \rangle = \dots \delta_{S, S'} \delta_{M, M'} \delta_{I, I'} \delta_{L'=L+\vec{n}} \delta_{S'=S+\vec{n}}$$

$\swarrow$   $\searrow$   
 csak a  $\rightarrow$  csak a  
 koordinátákban  $\rightarrow$  spinben

$$\vec{J} = \vec{L} + \vec{S}$$

M:  $\vec{J}$  értéke

impulzusállapotok közl a matrixelem

$$\langle \phi_{L=2, S=1, M=1} | (r^{(2)} \cdot S^{(2)}) | \phi_{L=2, S=1, M=1} \rangle = \checkmark$$

$$L: \vec{0} + \vec{2} = \vec{2}$$

$$S: \vec{1} + \vec{2} = \vec{1}$$

$$|L-S| \leq J \leq L+S$$

Külső bázis szimmetriájának vizsgálata várható el. (12. o.)  
 Ezt legyen az alapelvek. Koordináták + spin (Pauli)  
 impulzusmomentum és az kombináció. M. marad  
 meg?

$$V_{NN} = V_C(r) + V_S(r) \vec{\sigma}_1 \vec{\sigma}_2 + V_T(r) [3 (\vec{\sigma}_1 \vec{n})(\vec{\sigma}_2 \vec{n}) - \vec{\sigma}_1 \vec{\sigma}_2] +$$

$$+ \underbrace{V_{LS} \vec{L} \vec{S} + V_{(LS)^2} (\vec{L} \cdot \vec{S})^2}_{\text{spin-pályák sz.}}$$

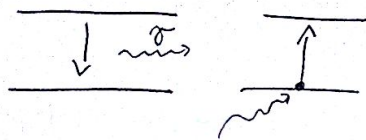
$$\vec{L} \vec{S} = (L^{(1)} S^{(1)})$$

Ugyan  $L, S, J$  és  $L', S', J'$  állapotok között van-e?

$$\langle \phi_{L, S, J} | (L^{(1)} S^{(1)}) | \phi_{L', S', J'} \rangle$$



# Atommagal elektromágneses kölcsönhatásai



$A + B \rightarrow C + \gamma$  sugárzás befogás  
 $C + \gamma \rightarrow A + B$  fotodexintegráció

Általában: EM sokkal gyengébb mint az erős  
 de gyenge az EM-hez képest is jóval kisebb.

EM-t perturbatív számoljuk ki.

## Fermi-féle aránykötés

$$T = \frac{2\pi}{\hbar} |\langle \gamma_0 | V_{ER} | \gamma_2 \rangle|^2 \int_{\text{energia}} (E) \rightarrow \text{átmeneti valószínűség}$$

↑  
végállapot valószínűség

## EM-tér jelenlétében.

forrásmentes szabad EM-tér hat kölcsön az atommag-  
 beli töltéssel illetve áramokkal és mágneses momen-  
 tumokkal

(a teljes jelleget Gauss  $\epsilon_0 = \mu_0 = 1$ ) Gaussi-egységrendszer

$$H = \frac{(\vec{p} - \frac{e}{c} \vec{A})^2}{2m} + V_{NN} - \mu_B \vec{H} + \sum_i n_i \hbar \omega_i$$

EM-tér impulzusváltóhatás
- nukleon
nukleonok spinjeinek sz. a. mág. t. mel. m. mág. mág. el.
fotonok sűrűsége

csak atommagra

csak EM

atommag és EM sz. a.

$$H_{sa} = -\frac{e}{2mc} (\vec{p} \vec{A} + \vec{A} \vec{p}) - \mu_B \vec{H}$$

Nincs töltés:  $\text{div } \vec{D} = 0$

$\vec{j} = 0$

$$\text{rot } \vec{H} = \frac{4\pi}{c} \vec{j} + \frac{1}{c} \frac{\partial \vec{D}}{\partial t} = \frac{1}{c} \frac{\partial \vec{D}}{\partial t}$$

$$\left( \text{Si } \vec{E} = -\vec{\nabla} \phi - \frac{1}{c} \frac{\partial \vec{A}}{\partial t} \right) \quad \vec{E} = -\frac{1}{c} \frac{\partial \vec{A}}{\partial t}$$



$$\vec{E} = -\frac{1}{c} \frac{\partial \vec{A}}{\partial t}$$

$$\vec{E} = \vec{D} \quad \vec{B} = \vec{H}$$

$$\vec{H} = \text{rot } \vec{A}$$

$$\text{rot } \vec{H} = \frac{1}{c} \frac{\partial \vec{D}}{\partial t}$$

$$\text{rot } \vec{H} = \frac{1}{c} \frac{\partial \vec{E}}{\partial t} = \text{rot rot } \vec{A} = \text{grad div } \vec{A} - \Delta \vec{A}$$

$$\underbrace{-\frac{1}{c} \frac{\partial^2 \vec{A}}{\partial t^2}}$$

$$\text{div } \vec{A} = 0$$

$$\frac{1}{c^2} \frac{\partial^2 \vec{A}}{\partial t^2} = \Delta \vec{A}$$

EM-ter:  $\vec{E}$  és  $\vec{B}$  energiát hordozó elektromágneses hullámok  
 az elektromágneses mágneses tér

↓  
 Fourier-dekompozíció

$$\vec{A}(\vec{r}) = \int q_2 e^{-i\omega t} \vec{A}_2(\vec{r}) d^3 \vec{r}$$

$$\hbar \omega = \hbar \nu = E_\gamma$$

$$p = \hbar k = \frac{E_\gamma}{c} = \frac{\hbar \omega}{c}$$

$$\lambda = \frac{c}{\nu} \quad \omega = c k$$

$$\frac{1}{c^2} \frac{\partial^2 \vec{A}}{\partial t^2} \Rightarrow \text{1 módusra:}$$

$$-\frac{\omega^2}{c^2} \vec{A}_2 = -\text{rot rot } \vec{A}_2$$

$$\text{rot rot } \vec{A}_2 = \Delta \vec{A}_2$$

$$\vec{A}_2 = \vec{A}(\vec{r}, t)$$

2. rendű diff. e. 2 megoldása:

Hansen megoldások:

$$\vec{A}_{em}^E(\vec{r}, t) = -\frac{i}{2} \text{rot} \left[ \vec{r} \times \vec{\nabla} (j_e(\vec{r}) \cdot \vec{Y}_{em}(\theta, \varphi)) \right]$$

$$\vec{A}_{em}^H(\vec{r}, t) = \vec{r} \times \vec{\nabla} (j_e(\vec{r}) \cdot \vec{Y}_{em}(\theta, \varphi))$$

$\ell$  impulzusmomentum és m. vektore

$j_e(\vec{r})$ : Bessel-fü.

$Y_{em}$ : gömbf. f.

$E$ : elektromos típusú

$H$ : mágneses típusú

} teljesítmény irányművelesek.  
 más szóval  $E$ - és  $H$ -típusú

2 foton írási le.  $E$ - és  $H$ -típusúak,  $\vec{E}$  és  $\vec{H}$  energiát és impulzusmomentumot.



$$l=0 \Rightarrow \underbrace{\vec{\nabla} (j_e(r) \cdot Y_{em}(r, \varphi))}_{\vec{e}_r}$$

$$A_{em}^M = 0 \Rightarrow \vec{A}_{em}^E = 0$$

foton tömege 0, vektorelékosok (1-es spin)

3 komponens lenne 0 tömeg  $\Rightarrow$  2 komponens  $\rightarrow$  csak transzverzális irányban lehet polarizált.

$$\vec{A}_{em}^M(\vec{z}, -\vec{r}) = \underbrace{(-1)}_{\vec{r}} \underbrace{(-1)}_{\vec{z}} \cdot \underbrace{(-1)^E}_{Y_{em}} \vec{A}_{em}^M(\vec{z}, \vec{r})$$

$$\vec{A}_{em}^E(\vec{z}, -\vec{r}) = \underbrace{(-1)}_{\vec{r}} \underbrace{(-1)}_{\vec{z}} \underbrace{(-1)}_{\text{not}} \underbrace{(-1)^E}_{Y_{em}} \vec{A}_{em}^E(\vec{z}, \vec{r})$$

kl.iban vagy  $\vec{r} \cdot \vec{z}$  vel van megkezdve vagy not  $\Rightarrow$  Lap megfog (-1) előjelet.

$$H_{2h}^M(-\vec{r}) = (-1)^{E+1} H_{2h}^M(\vec{r})$$

$$H_{2h}^E(-\vec{r}) = (-1)^E H_{2h}^E(\vec{r})$$

$$\langle \gamma_0 | H_{2h} | \gamma_2 \rangle \neq 0 \Leftrightarrow \pi_2 \cdot \pi_{2h} = \pi_0 \quad (\text{paritás megmarad})$$

$$\pi_{2h} \begin{cases} (-1)^E \\ (-1)^{E+1} M \end{cases}$$

$$\vec{A}(\vec{r}) = \sum_{\vec{\sigma}, l, m} \int \frac{d^3z}{z^2} q_{\vec{\sigma}, l, m} e^{-i\omega t} A_{em}^{\vec{\sigma}}(\vec{z}, \vec{r}) d^3z \quad \vec{\sigma} = E, M$$

Utz EM-tér időátlagolt energiájú, térszerű és impulzusmomentumú fotónak önmagába.

$$\vec{A}(\vec{r}) \rightarrow H_{2h} \rightarrow T \quad \hbar \omega \ll 1 \quad \text{hosszhullámú határeset} \\ \text{alacsonyenergiájú határeset}$$

$$T = \sum_{\vec{\sigma}, \lambda} T(\vec{\sigma}, \lambda)$$

foton  
impulzus-  
momentum

$$T(\vec{\sigma}, \lambda) = \frac{8\pi(\lambda+1)}{\lambda!(2\lambda+1)!!} \frac{2^{2\lambda+1}}{\hbar} \frac{1}{2\lambda+1} \sum_{\omega_2, \mu_2} |\langle \gamma_0 | \hat{O}_{\lambda m}^{\vec{\sigma}} | \gamma_2 \rangle|^2$$

számítás - 19 -



$$T(\sigma_2) = \frac{8\pi(\lambda+1)}{\lambda!(2\lambda+1)!!} \frac{2^{2\lambda+1}}{h} \frac{1}{2\lambda+1} \sum_{\substack{m_1 m_2 \\ \text{Exakti. all. teljes grupe}}} |\langle \gamma_1 | \hat{O}_{\lambda m}^\sigma | \gamma_2 \rangle|^2$$

$5!! = 1 \cdot 3 \cdot 5$

$$\hat{O}_{\lambda m}^\sigma = \int Q_{\lambda m}^\sigma = e \sum_{i=1}^N r_i^\lambda Y_{\lambda m}^*(r_i) - i\mu_0 \frac{2}{\lambda+1} \sum_{i=1}^N q_i (\vec{b}_i \times \vec{r}_i) \cdot \vec{\nabla} (r_i^\lambda Y_{\lambda m}^*)$$

$$M_{\lambda m}^\sigma = \mu_0 \sum_{i=1}^N q_i \vec{S}_i \cdot \vec{\nabla} (r_i^\lambda Y_{\lambda m}^*) + \frac{2\mu_0}{\lambda+1} \sum_{i=1}^N \vec{L}_i \cdot \vec{\nabla} (r_i^\lambda Y_{\lambda m}^*)$$

Elb. tudni kell!  $\mu_0$  mágneses momentum

A'tmenet valószínűsége parciális valószínűségekre bontás

$$T = \sum_{\sigma_1, \sigma_2} T(\sigma_2)$$

Elektromos típusú fotónak által vezetett el.:

$E_1, E_2, E_3 \dots$   
dipól quadrupól  $\rightarrow$  oktapól

Mágneses típusú ...

$M_1, M_2, M_3 \dots$

$2^{\lambda}_{pol}$

$\lambda=1$  dipól

$\lambda=2$  quadrupól

$\lambda$ -adrendű irreducibilis tenzoroperátorok

$$\vec{T}_2 + \vec{2} = \vec{T}_0$$

$$\pi_k \cdot \pi_{\frac{2k}{\gamma}} = \pi_0$$

$$\pi_r = \begin{cases} (-1)^r E \\ (-1)^{r+1} M \end{cases}$$



Atommagok alapállapotú tulajdonságai

Kenneth S. Krane

Introduction to Nuclear Physics

K. Heyde

Basic ideas & Concepts in Nuclear Physics

Felügyelők

Atommagfizika

Atommagok tömege, kötési energiája

$$(m_A - Zm_p - Nm_n)c^2 = E_k < 0$$

tömegspektrométer

táblázat: atom / atommag tömeg  
 pl.: neutron

Félempirikus kötési formula:

$$E_{köt} = \alpha A - \beta A^{2/3} - \gamma \frac{Z^2}{A} - \delta \frac{(N-Z)^2}{A} - \epsilon f(A)$$

Weizaker-féle

$\epsilon = \pm 1, 0$

Adatok: A és Z

5 paraméter:  $\alpha, \beta, \gamma, \delta, \epsilon$

10% pontossággal 1000 atommag tömege



•  $\alpha A$ : magok telítettség  
~16 MeV  
cseppmodell



atommag: állandó sugarú gömbök legkisebb térfogatú  
kötőerőbe

minden nukleonnak 12 komolydja van.

magok rövid hatótávolságúak (1-2 fm)

csak a komolydosszal hat kölcsön

nagyobb magok is hasonlóan viselkednek.

térfogat tag alany nukleon ~ kötési energia

•  $\beta A^{2/3}$ : felületi ~~felület~~

amir nincs térfogattól jövő erő



- $-\sigma \frac{z^2}{A}$  : Coulomb - tag
- $-\sigma \frac{(N-Z)^2}{A}$  : szimmetriatag
- $-E \chi f(A)$  : párosítás-hatás

$E_k$  nagy negatív

$E < 0 \Rightarrow \chi > 0$  "kötő"  $N=ptl$   $Z=ptl$

$\chi < 0$  "erősítő"  $N=ps$   $Z=ps$

$\chi = 0$  egyenként ( $ps-ptl$ )

2.) cseppmodell 1-3. tag értjük...

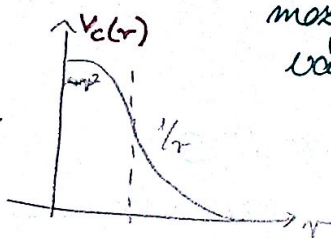
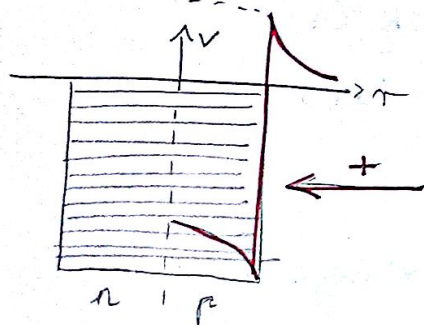
### Fermi-gáz modell

Düres nukleus szabad részecskének tekinthető (gáz)



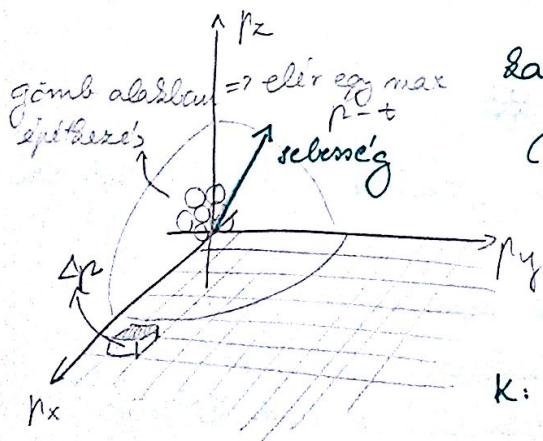
$\Delta m$ -mel vesszük figyelembe a kötést

$\Rightarrow$  nincs  $2h$ : szabad részecskéik



maximális energiájú kört van csak létezésük.

$$H = -\frac{\hbar^2}{2m} \Delta \Rightarrow e^{ikr} \text{ síkhullám}$$



kanonikus, mikrokanonikus elvvel alkalmazhatók (analóg az ideális gázzal)

$$\Delta x \Delta p \approx \hbar$$

$$\Delta p \approx \frac{\hbar}{\Delta x} = \frac{\hbar}{\sqrt[3]{V}}$$

$k$ : impulzustérbeli térfogat

$$k = \frac{4\pi}{3} p_{\max}^3$$

$$k_1 = (\Delta p)^3 = \frac{h^3}{V} \text{ 1 parcella térfogata}$$

dobozaim (cellákéi)

$$N \approx \frac{k}{k_1} = \frac{4}{3} p_{\max}^3 \frac{V}{h^3} \cdot 2$$

↑  
spin felvétel cellánként



$N$ -es  $p_{\max}$  meghatározható

$p$  és  $n$  szintén impulzustérben vannak (Leibniz's rule)

$$p_{\max} = p_{F,n}$$

↑  
Fermi impulzus

$$N = \frac{8\pi}{3h^3} V p_{F,n}^3 \rightarrow \text{neutronok száma}$$

$$Z = \frac{8\pi}{3h^3} V p_{F,p}^3 \rightarrow \text{protonok száma}$$

Atommag térfogata

$$V = \frac{4}{3}\pi r^3 = \frac{4}{3}\pi (r_0 A^{1/3})^3 = \frac{4}{3}\pi r_0^3 A$$

atom sugara

$$N = \frac{32\pi^2}{9h^3} A r_0^3 p_{F,n}^3$$

$$p_{F,n} = \sqrt[3]{\frac{N}{A r_0^3} \frac{9h^3}{32\pi^2}}$$

$$\frac{N}{A} \approx \frac{1}{2} \text{ (egy dbig)} \quad \text{Leibniz} \Rightarrow \frac{82}{208} = 0,39 \text{ proton}$$

0,61 neutron

$$p_{F,n} = \sqrt[3]{\frac{1}{2} \frac{1}{r_0^3} \frac{9h^3}{32\pi^2}}$$

Fermi energia:  $E_F = \frac{p_{F,n}^2}{2m} = \frac{\left(\frac{9h^3}{64\pi^2} \frac{1}{r_0^3}\right)^{2/3}}{2m} = \left(\frac{9}{64\pi^2} \frac{1}{r_0^3}\right)^{2/3} \frac{h^2 c^2}{2m c^2} =$

$$E_F = 38 \text{ MeV}$$

$$N = Z - n$$

$$r_0 = 1,3 \text{ fm}$$

1 neutron átlagos energiája  
egyenletes eloszlás

$$\bar{E} = \frac{\int_0^{p_F} d^3p \frac{p^2}{2m}}{\int_0^{p_F} d^3p} = \frac{\int_0^{p_F} \frac{p^4}{2m} dp}{\int_0^{p_F} p^2 dp} = \frac{\frac{p_F^5}{10m}}{\frac{p_F^3}{3}} = \frac{3}{5} \frac{p_F^2}{2m}$$

$$\bar{E} = \frac{3}{5} E_F = 20 \text{ MeV}$$

Milyen energiára kell 2 magot gyorsítani az ütköztetéshez,  
ha a nukleon mozgását is számba vesszük

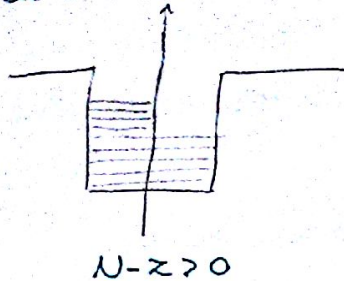
$$30 \text{ MeV/nukleon}$$

$$\text{közepes energia} \approx E_F$$

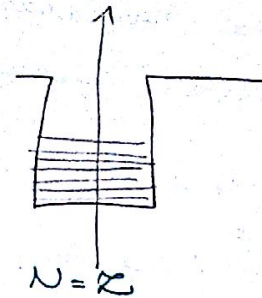
150 MeV/nukleon - nál megy az atommag  $\Rightarrow$  szétszór az ütközés során egy proton



ennek kisebb energiája esély: összehasználni, mincs átrendeződni.



nagyobb energiájú, mint



Összes mozgási energia:

$$E_0 = N\bar{E}_n + Z\bar{E}_p = N \frac{3}{5} \frac{p_{F,n}^2}{2m} + Z \frac{3}{5} \frac{p_{F,p}^2}{2m} =$$

(Fermi impulzus neutronra és protonra)

$$\left. \begin{array}{l} p_{F,n} \rightarrow \bar{E}_n \rightarrow N\bar{E}_n \\ p_{F,p} \rightarrow \bar{E}_p \rightarrow Z\bar{E}_p \end{array} \right\} \text{összes nukleon mozgási energiája}$$

$$p_F = \left(\frac{N}{A}\right)^{1/3} (\dots)$$

$$= \frac{3}{10m} \left(\frac{N}{A}\right)^{2/3} N (\dots) + \frac{3}{10m} \left(\frac{Z}{A}\right)^{2/3} Z (\dots) =$$

$$= \frac{3(\dots)}{10m} \frac{N^{5/3} + Z^{5/3}}{A^{2/3}} = E_0$$

$$\frac{N-Z}{N+Z} = \xi = \frac{N-Z}{A}$$

$$\xi + 1 = \frac{N-Z+A}{A} = \frac{2N}{A} \Rightarrow N = \frac{\xi+1}{2} A$$

$$1 - \xi = \frac{A - N + Z}{A} = \frac{2Z}{A} \Rightarrow Z = \frac{1-\xi}{2} A$$

$$E_0 = \underbrace{\int \mathcal{E} \rho}_{\text{konstans}} \frac{\left(\frac{\xi+1}{2}\right)^{5/3} A^{5/3} + \left(\frac{1-\xi}{2}\right)^{5/3} A^{5/3}}{A^{2/3}} = \int \mathcal{E} \rho A \left( (1+\xi)^{5/3} + (1-\xi)^{5/3} \right)$$

$$\left. \begin{array}{l} (1+\xi)^{5/3} \approx 1 + \frac{5}{3}\xi + \frac{5/3 \cdot 2/3}{2} \xi^2 \\ (1-\xi)^{5/3} \approx 1 - \frac{5}{3}\xi + \frac{5/3 \cdot 2/3}{2} \xi^2 \end{array} \right\} 2 + \frac{10}{9} \xi^2$$

$$E_0 = \int \mathcal{E} \rho A \left( 1 + \frac{5}{9} \frac{(N-Z)^2}{A^2} \right) = \int \mathcal{E} \rho A \left( A + \frac{5}{9} \frac{(N-Z)^2}{A} \right) =$$

$$= \mathcal{E}'' A + \frac{5}{9} \mathcal{E}'' \frac{(N-Z)^2}{A} \Rightarrow + \text{mozgási energia}$$

teljes átlagolt mozgási energia



$R$  nem ugyanaz mint  $\sigma$  egy 2-es faktor erejéig  
 felelős: proton és neutron potenciál mélysége  
 nem egyezik meg.

$$R \approx \frac{1}{3} = 11 \text{ MeV}$$

$$\sigma \approx 23 \text{ MeV}$$

Potenciálgömbök mélysége nem függ erősen a mag  
 méretétől (próciát más, de nagyságrendileg egyezik)

$$\alpha A - \beta A^{2/3} - \gamma \frac{Z^2}{A}$$

$$r = r_0 A^{1/3}$$

Atommag sugárának mérése

- Nagyenergiás elektronok
- Alkalmazható  $K_\alpha$  sugárzás
- Atomalás Rutherford
- Neutron elnyelődés  $\sigma$

Nagyenergiás elektronok

$$E_e \quad \lambda = 1 \text{ fm} \quad p = \frac{h}{\lambda}$$

$$E = \sqrt{p^2 c^2 + m_e^2 c^4} = \sqrt{\frac{h^2}{\lambda^2} c^2 + m_e^2 c^4} = \sqrt{\frac{h^2 c^2}{\lambda^2} + m_e^2 c^4} =$$

$$= \sqrt{\frac{(1200 \text{ MeV fm})^2}{1 \text{ fm}^2} + \frac{1}{4} \text{ MeV}^2} = 1200 \text{ MeV}$$


relativitás

Stanfordban megépítették

SLAC lineáris gyorsító (California)

Röfslatter

$$e^{i(\mathbf{k} - \mathbf{k}') \cdot \mathbf{r}} = e^{i \mathbf{q} \cdot \mathbf{r}}$$

$$q = 2k \sin \frac{\theta}{2}$$


elektronstatikus potenciál

$|\langle \mathbf{r} | H | \mathbf{r} \rangle|^2$  átmeneti valószínűség

$$\int e^{-i \mathbf{k} \cdot \mathbf{r}} V(\mathbf{r}) e^{i \mathbf{k}' \cdot \mathbf{r}} d^3 r =$$

$$= \int e^{i(\mathbf{k} - \mathbf{k}') \cdot \mathbf{r}} V(\mathbf{r}) d^3 r$$



$$\int v(r) e^{iqr} d^3r = F(q)$$

$$v(r) = \int \frac{f(r)}{|r-r'|} d^3r$$

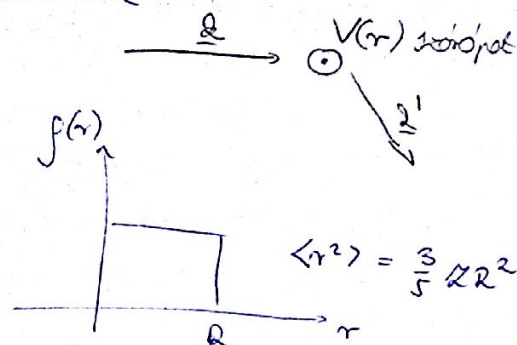


Elektronok által töltéshősség meghatározása a magban

$\rho(r)$  protonok töltéssűrűségének mérése

$\Downarrow$   
sugár (ekvivalens mag sugár)

$$R_{eq}^2 = \frac{\int r^2 \rho(r) dV}{\int \rho(r) dV} = \frac{\langle r^2 \rangle_{\rho(r)}}{\int \rho(r) dV}$$



$$\langle r^2 \rangle_{\rho(r)} = \frac{3}{5} R^2 R_{eq}^2$$

### Born - közelítés

$V(r)$  potenciál

$V(r)$  kicsi  $r > R$  akkor  $V(r) \approx 0$

$V(r) \ll E$

$$H = H_0 + K$$

$$E(K) \ll E(H_0)$$

magyenergiájú elektronokra ez igaz is.

$$e^{ikr} = \chi_k \quad e^{ik'r'} = \chi_{k'}$$

$\langle \chi_k | H | \chi_{k'} \rangle = M$  átmeneti mátrixelem

$$\frac{d\sigma}{d\Omega} = (\dots) |M|^2 \quad \text{Fermi-féle arányosságot}$$

$$M = \int e^{ikr} e^{ik'r'} V(r) dV = \int e^{iqr} V(r) dV =$$

$$q = k - k'$$

$$V(r) = \iiint \frac{\rho(r')}{|r - r'|} dV'$$

$$= \iiint e^{iqr} \iiint \frac{\rho(r')}{|r - r'|} dV' dV = \iiint e^{iq(r - r')} \frac{\rho(r')}{|r - r'|} e^{iqr'} dV' dV =$$

$$r - r' = x \quad dr = dx$$

$$= \iiint e^{iqx} \frac{\rho(r')}{|x|} e^{iqr'} dV' dV$$



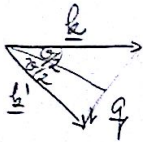
$$M = \iint_{V, V'} e^{iqx} \frac{f(r')}{x} e^{iqr'} dV_x dV' =$$

$$= \int_V f(r') e^{iqr'} \underbrace{\int_V \frac{e^{iqx}}{x} dV_x}_{\text{Fourier-transzformált}} dV' = \int_{V'} f(r') e^{iqr'} \overset{\text{konstans}}{\frac{C}{q^2}} dV' =$$

$$= \frac{C}{q^2} \underbrace{\int_V f(r') e^{iqr'} dV'}_{F(q)}$$

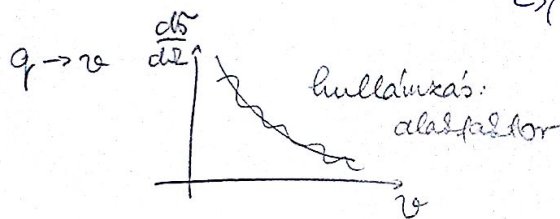
Ha Dirac-delta  $\Rightarrow$  integrál konstans pontoké

$$\frac{d\sigma}{d\Omega} = (\dots) \cdot \left| \frac{C}{q^2} F(q) \right|^2 = (\dots) \frac{C^2}{q^4} |F(q)|^2 =$$



$$= (\dots) \frac{C^2}{2^4 \sin^4 \frac{\varphi}{2}} |F(q)|^2 = \left( \frac{d\sigma}{d\Omega} \right)_{\text{Ruth}} \underbrace{|F(q)|^2}_{\text{alakfaktor}}$$

$\hookrightarrow$  (Rutherford-szórás)



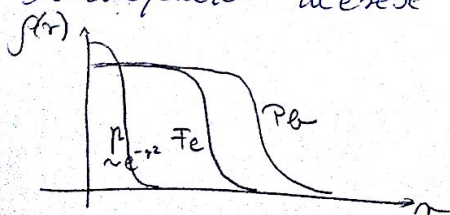
Tf.  $f(r)$  gömb-szimmetrikus

(többnyire nem igaz  $\Rightarrow$  forgás-ellipszoid)

$$\begin{aligned} F(q) &= \int_{V'} f(r') e^{iqr'} dV' \stackrel{\text{gömb-sim}}{=} \int_0^1 \int_0^{2\pi} \int_0^\pi f(r') e^{iqr' \cos \vartheta} r'^2 d(\cos \vartheta) d\varphi dr' \\ &= 2\pi \int_0^\infty f(r') r'^2 \underbrace{\int_{-1}^1 \frac{e^{iqr' \cos \vartheta}}{iqr'} dr'}_{\text{ennek a értéke mindig } \dots = 2} = 2\pi \int_0^\infty f(r') r'^2 \frac{\sin qr'}{qr'} dr' = \end{aligned}$$

$$= 4\pi \int_0^\infty f(r) r^2 \sin qr dr = F(q)$$

Alakfaktor mérése esetén  $\left( \frac{d\sigma}{d\Omega} \text{ mérése} \Rightarrow \frac{\left( \frac{d\sigma}{d\Omega} \right)}{\left( \frac{d\sigma}{d\Omega} \right)_{\text{Ruth}}} = |F(q)|^2 \right)$

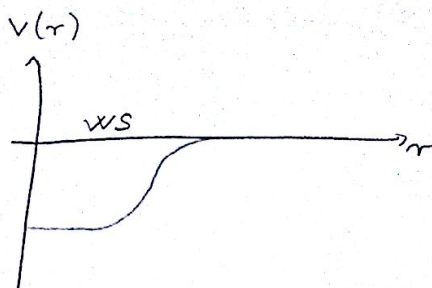


$$f(r) = \frac{\rho_0}{1 + e^{\frac{r-r_0}{a}}} \quad \text{Fermi-féle típusú}$$

Wood-Saxon-alak



$V(r) \sim \rho(r)$  Wood-Saxon alak egyáltalán magpotenciál is lesz.



héjmodell:

jó leírása a mágikus számoknak, ha bevezetjük a spin-pálya szétválást.

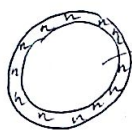
$$R_{\text{eq}} = r_0 A^{1/3}$$

$$r_0 = 1,2 - 1,4 \text{ fm}$$

nagy energiás  $e^-$ -szórás

anomális Rutherford-szórás.

$$\sigma \sim \pi r^2$$



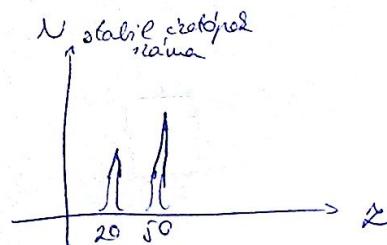
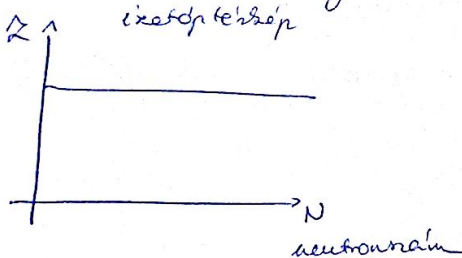
mag körül van egy neutron réteg  
 $r_0, \text{mide} > r_0, \text{rester}$

Nagyobb magokra  $N > Z \rightarrow$  több pálya van betöltődve neutronból  $\Rightarrow$  könnyebb helyettedel el.

## Mágikus számok

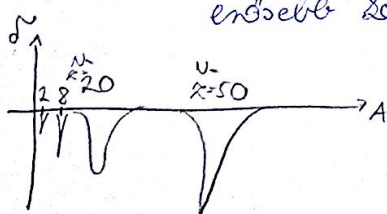
• Ennek utolsó leírata

amely stabil izotóppa van egy elemnek  
van amelyiknél sokkal több izotóptípus



$$\Delta E_{\text{tot}} - T_{\text{EKF}}(Z, A) < 0$$

erősebb kötés mint a seppmodellből vár.



•  $S_n$  egy neutron leválasztásához szükséges energia  
ugrás: 2, 8, 20, 50 =  $Z$  v.  $N$ .

•  $\sigma(n, \sigma)$  neutron befogási hatáskeresztmetszet



# Magnétikus kölcsönhatás

$\vec{a} + A \rightarrow B + C$

$A(a, b) B$

$A(n, p) B$  azonos tulajdonságúak

neutronnal bombázva atommagot  $\gamma$  megy  $2e^- \rightarrow$  neutronbefogás

$\sigma(n, \gamma)$  sugár értéke: nem fogad be (minimum 2)

2, 8, 20, 50, 82

Ez a mágneses térrel az  $N$  és  $Z$  esetek Liön-  
Liön kijelentése.

## Atommag mágneses momentuma

(Perdület)  $\vec{I}$   
magnon

$\vec{I}^2 \rightarrow i(i+1) \hbar$   
 $\vec{I}_3 \rightarrow (i_1, -i_1, \dots, p_1, \dots, i_1, i_1) \hbar$   
rendszer kvantumszáma:  $i$   
2i+1 db (mágneses térben felhasznált)

Ebből a mágneses momentum

$$\vec{M} = \sum_{i=1}^Z g_p \mu_N \vec{S}_{pi} + \sum_{i=1}^Z \mu_N \vec{L}_{pi} + \sum_{i=1}^N g_n \mu_N \vec{S}_{ni} + 0$$

proton spin ( $\frac{1}{2}$ )

neutronal nincs párhuzamosa, mert semleges

magneton  $\mu_N$   $g_p$  gíromágneses faktor

$g_p = 5.5$



$mvr = L$

$\mu = IA = I \pi r^2$

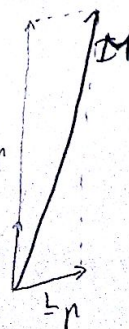
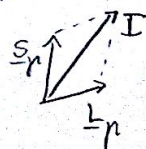
nem tudja a konstans, nem kell se kell

proton mágneses momentumát még nem számolták ki

$\frac{q}{t} \cdot \frac{q}{2\pi r} \cdot \pi r^2 = \frac{q^2}{2} \cdot \frac{r}{t}$

$$\vec{I} = \sum_i \vec{S}_{pi} + \sum_j \vec{S}_{nj} + \sum_i \vec{L}_{pi}$$

$\vec{I}$  és  $\vec{M}$  "nem párhuzamosak" klasszikus analógia



$\vec{I}$  mágneses állandó  $M$  mágneses állandó effektív mágnes. momentuma



mérhető:

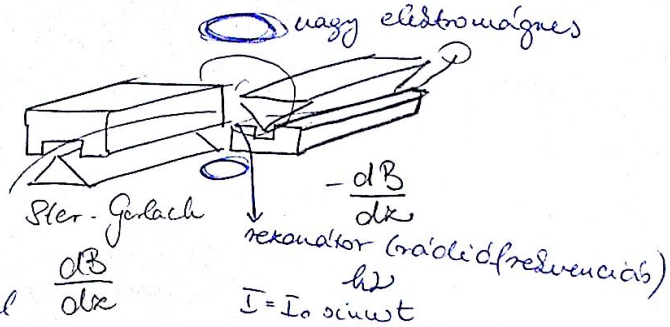
$$\mu_{\text{eff}} = \frac{(\mu \cdot \underline{I}) \cdot \underline{I}}{I^2} = \mu \quad \text{kvantumskála:}$$

$$\mu = g \mu_B \cdot \frac{i}{I} \quad \text{számtétele}$$

giromágneses falon (egy kalibráló mér)

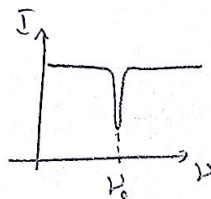
NMR-rel mérhető.

Rezonancia elnyelődés



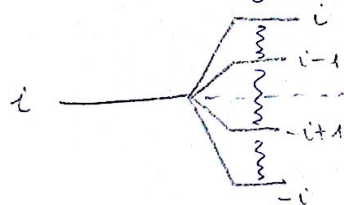
Ha egyik spin megfordul  $\frac{dB}{dt}$

rezonancia elnyelődés  $\rightarrow$  az eredeti kálitásban nem tud átmenni



$$h\nu = g\mu B$$

Adott spin atommag energiaszintjei felhasznál



2i+1 db

$$\Delta E = \mu B = g \mu_B I B = g \mu_B I_z B = g \mu_B I$$

$$-i+1+1 = i-1$$

$$B = 2i$$

$$i = \frac{B}{2}$$

$$\Delta E_{\text{max}} = 2\mu_{I_z \rightarrow i} \cdot B = 2g\mu_B i B \quad \text{ugrási száma: } 2i$$

$$\Delta E_1 = \frac{\Delta E_{\text{max}}}{2i} = g\mu_B B$$



2012.10.16.

$$Z = p \rightarrow O = S_p^{\text{tot}} \text{ spin}$$

$$N = n \rightarrow O = S_n^{\text{tot}} \text{ spin}$$

Magneses momentum az atómból származik:

$$\mu \Rightarrow \mu_{\text{eff}}$$

$$\mu = \frac{(M_L) \hbar}{I^2}$$

1.) atómból nucleus = proton

2.) — " — neutron

$\underline{M}$  magneses momentumokból

$$\underline{M} = \sum_{i=1}^Z g_p \mu_N \underline{S}_{p,i} + \sum_{j=1}^N g_n \mu_N \underline{S}_{n,j} +$$

$$+ \sum_{i=1}^Z \mu_N \underline{L}_{p,i}$$

neutronok pályamomentumából  
mivel magneses momentum  
járt vele

1.)  $l = \text{össz} (\underline{L}_p)$   $\underline{I}_p = \underline{L}_p + \underline{S}_p$   
 $i = l \pm \frac{1}{2}$

2.)  $i = l \pm \frac{1}{2}$

Nucleusok átlag-terbén

$^{13}\text{C} \rightarrow ^{12}\text{C} + n$   
 $\frac{1}{2} \hbar \Rightarrow l=1$   $i = \frac{1}{2} \text{ v. } \left(\frac{3}{2}\right) \rightarrow$  létezik a  $p_{3/2}$   $^{12}\text{C}$ -nek

$1s_1, 1p_1$

$n \ 2, 6$

$p \ 2, 6$

$^{13}\text{C} \Rightarrow l=1 \quad i = \frac{1}{2}$

$p_{3/2}$   $p_{1/2}$  spin-pályák sz. atommagban



$$\underline{\mu} = \frac{(\underline{M} \underline{I}) \underline{I}}{I^2} \quad L, S$$

1.) proton,  $e + \frac{1}{2} = i$

$$\underline{I} = \underline{L} + \underline{S}$$

$$\underline{M} = g_p \mu_N \underline{S} + \mu_N \underline{L}$$

$$(\underline{M} \underline{I}) = (\underline{L} + \underline{S})(g_p \mu_N \underline{S} + \mu_N \underline{L}) =$$

$$= g_p \mu_N \underline{L} \underline{S} + g_p \mu_N S^2 + \mu_N L^2 + \mu_N \underline{S} \underline{L} =$$

$$= (g_p \mu_N + \mu_N) \underline{L} \underline{S} + g_p \mu_N S^2 + \mu_N L^2 =$$

"symmetrisch", weil man  
\$\mu\_N \underline{L} \underline{S}\$  
tauschen kann

$$(\underline{L} \underline{S}) = \frac{1}{2} \left( \underbrace{(\underline{L} + \underline{S})^2}_{I^2} - L^2 - S^2 \right) \rightarrow \frac{i(i+1) - l(l+1) - s(s+1)}{2}$$

$$= \mu_N (g_p + 1) \frac{I^2 - L^2 - S^2}{2} + g_p \mu_N S^2 + \mu_N L^2$$

Berechnung:  $\frac{\underline{I}}{I^2} \rightarrow \frac{i}{i(i+1)} = \frac{1}{i+1}$

$$\frac{(\underline{M} \underline{I}) \underline{I}}{I^2} \xrightarrow{\text{Summe}} \frac{\mu_N (g_p + 1) \frac{i(i+1) - l(l+1) - s(s+1)}{2} + g_p \mu_N s(s+1) + \mu_N l(l+1)}{i+1} =$$

$$= \frac{1}{l+\frac{3}{2}} \left[ \mu_N (g_p + 1) \frac{(l+\frac{1}{2})(l+\frac{3}{2}) - l(l+1) - \frac{3}{4}}{2} + g_p \mu_N \frac{3}{4} + \mu_N (l+1)l \right] =$$

$$= \frac{1}{l+\frac{3}{2}} \left[ \mu_N (g_p + 1) \frac{l^2 + \frac{5}{4}l + \frac{3}{4} - l^2 - l - \frac{3}{4}}{2} + g_p \mu_N \frac{3}{4} + \mu_N l^2 + \mu_N l \right]$$

$$= \frac{1}{l+\frac{3}{2}} \left[ \mu_N \frac{l(l+1)}{2} + g_p \mu_N \frac{3}{4} + \mu_N g_p \frac{1}{2} (l^2 + \frac{5}{4}l) \right] = \frac{1}{2} g_p \mu_N + \mu_N l$$

$$= \frac{1}{l+\frac{3}{2}} \left[ g_p \mu_N l \right]$$



for proton  $i = l - \frac{1}{2}$

2) neutron  $l - \frac{1}{2} = i$

$$\underline{M} = g_N \mu_N \underline{S} =$$

$$\underline{I} = \underline{L} + \underline{S}$$

$$\frac{(\underline{M} \cdot \underline{I})}{I^2} = \frac{(\underline{L} + \underline{S}) \cdot (g_N \mu_N \underline{S})}{I^2} = \frac{\frac{I^2 S^2 - L^2 S^2}{2}}{I^2} g_N \mu_N \frac{I}{I^2} =$$

$$= \frac{I^2 + S^2 - L^2}{2} g_N \mu_N \frac{I}{I^2}$$

$$\mu = \frac{g_N \mu_N \cdot i}{i(i+1)} \left( i(i+1) - l(l+1) + \frac{3}{4} \right) \frac{1}{2} =$$

$$i = l - \frac{1}{2}$$

$$= g_N \mu_N \left( l - \frac{1}{2} - \frac{l(l+1)}{l + \frac{1}{2}} + \frac{\frac{3}{4}}{l + \frac{1}{2}} \right) \frac{1}{2} =$$

$$= g_N \mu_N \left( \frac{l^2 - \frac{1}{4} - l^2 - l + \frac{3}{4}}{l + \frac{1}{2}} \right) \frac{1}{2} =$$

$$= - \frac{g_N \mu_N}{2} = - \left( g_N \mu_N \cdot \frac{1}{2} \right) \frac{i}{i+1} = - \frac{\mu_{\text{neutron}} i}{i+1}$$

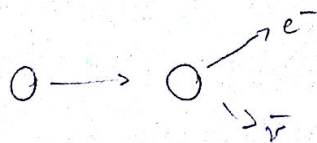
$^{13}\text{C}$

$$^1p_{1/2} \quad i = \frac{1}{2}$$

$$\mu_{^{13}\text{C}} = - \mu_{\text{neutron}} \frac{1}{3}$$



# $\beta$ -bomlás (termi elemzés)



- 1.) folytonos energiaspektrum
- 2.) neutrínóhipotézis
- 3.) neutrínó detektálása

$$W = \frac{d^2}{2m} |\langle \psi_2 | H | \psi_0 \rangle|^2 \cdot \rho(E) = \frac{dW}{dE}$$

$$\psi_2 = \phi_2$$

$$\psi_0 = \phi_0 \psi_e \psi_{\bar{\nu}} \rightarrow \psi_e = (\dots) e^{i\vec{p}_e \cdot \vec{r}} \\ \psi_{\bar{\nu}} = (\dots) e^{-i\vec{p}_{\bar{\nu}} \cdot \vec{r}}$$

$$= (\dots) |\underbrace{\langle \phi_{\bar{\nu}} \psi_e \phi_0 | H | \phi_2 \rangle}_{M_1}|^2 \rho(E)$$

$$M_1 = (\dots) \int \phi_2(\vec{r}) H \phi_0(\vec{r}) e^{i\vec{p}_e \cdot \vec{r}} e^{-i\vec{p}_{\bar{\nu}} \cdot \vec{r}} dV$$

① skálár:  $g$

②  $e^{i\vec{p}_e \cdot \vec{r}} = 1 + i\vec{p}_e \cdot \vec{r} \approx 1$  ← *duna közelítő*

$$p_e \ll 1$$

$$p_e \approx \frac{E}{c}$$

$$r \ll R \approx 10 \text{ fm}$$

$$E = \sqrt{p_e^2 c^2 + m_e^2 c^4} \approx p_e c$$

$$\frac{\frac{E}{c} \cdot R}{\hbar} = \frac{E \cdot R}{\hbar c} = \frac{2 \text{ MeV} \cdot 10 \text{ fm}}{200 \text{ MeV fm}} = 0,1 \ll 1$$

$M_1$  közelítő értéke:

$$M_2 = K |\langle \phi_0 | H | \phi_2 \rangle|^2 = \text{mag matrixelem}$$

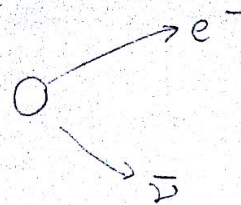
$$W = (\dots) M_2 \cdot \rho(E)$$



$$M_2 = |\Phi_0 \langle \Psi | \Phi_2 \rangle|^2 = \text{mag mátrixelem}$$

$$w = (\dots) \cdot M_2 f(E)$$

Elemi esemény:  $f(E)=1$



$$P(p_e, p_\nu) = (\dots) M_2^2 f(E) \text{ adott impulzusokra}$$

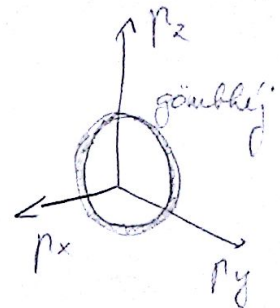
↑ atommag hirtelen vissza az elektron  $\Rightarrow$  igazából nem szűkül

$M_2$ -ben van  $S(x, E)$  abszorpció

$$P(p_e, p_\nu) = (\dots) S(x, E) F(x, E) p_e^2 p_\nu^2$$

$$P(E_e, E_\nu) dE_e dE_\nu = (\dots) S \cdot F \cdot p_e^2 \frac{dp_e}{dE_e} p_\nu^2 \frac{dp_\nu}{dE_\nu} dE_e dE_\nu$$

Szob



$$E = \sqrt{p^2 c^2 + m_0^2 c^4}$$

$$p = \sqrt{E^2 - m_0^2 c^4} \frac{1}{c}$$

$$m_\nu = 0$$

$$\frac{dp_e}{dE_e} = \frac{E_e}{c} \frac{1}{\sqrt{E_e^2 - m_e^2 c^4}}$$

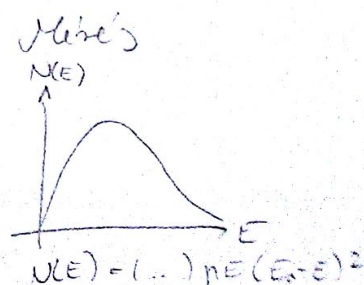
$$\frac{dp_\nu}{dE_\nu} = \frac{1}{c}$$

$$\begin{aligned} p(E_e, E_\nu) &= (\dots) S F (E_e^2 - m_e^2 c^4)^{-\frac{1}{2}} \frac{E_e/c}{\sqrt{E_e^2 - m_e^2 c^4}} \frac{E_\nu^2}{c^2} \frac{1}{c} = \\ &= (\dots) S \cdot F \cdot (E_e^2 - m_e^2 c^4)^{-\frac{3}{2}} \frac{E_e}{\sqrt{E_e^2 - m_e^2 c^4}} E_\nu^2 = \\ &= (\dots) S \cdot F \cdot \sqrt{E_e^2 - m_e^2 c^4} E_e E_\nu^2 \end{aligned}$$

③  $E_0 = E_e + E_\nu$

$$A \rightarrow B + e + \bar{\nu} \quad c^2(m_A - m_B - m_e) = E_0$$

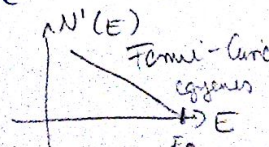
$$\begin{aligned} P(E_e) &= \int p(E_e, E_\nu) dE_\nu d(E_0 - E_e - E_\nu) = \\ &= (\dots) S F \sqrt{E_e^2 - m_e^2 c^4} E_e (E_0 - E_e)^2 \end{aligned}$$



④. Megjegyzett átmenet

$$\frac{N(E)}{P(E) f(x, E)} = N(E)$$

-36-



$$\frac{N(E)}{TE} = N'(E) + E_0 - E$$

S=1  
T=1



$$\vec{F}_2 + \vec{F}_1 = \vec{F}_0$$

$$\rightarrow |g_k - \lambda| \leq g_v \leq g_k + \lambda \quad \text{d'alors il faut} \Rightarrow |g_k - g_v| \leq \lambda \leq |g_k + g_v|$$

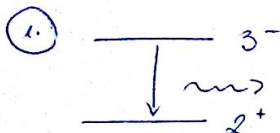
$$\lambda = 1, 2, \dots$$

$$\pi_2 \cdot \pi_2 = \pi_5$$

$$\pi_n = \begin{cases} (-1)^n & \text{electrons} \\ (-1)^{n+1} & \text{magnets} \end{cases}$$

hosszúhullámú  
hálózatok,  
 $\lambda \ll 1$

Pr.:



milieu multipolaritasu faouo vexueu sebt  
at atmeueu?

$$A = E_1, M_2, E_3, M_4, E_5$$

negativ Zell  $\rightarrow + \pi_2$  oder  $-1$ ?

piratagem  $\rightarrow E$   
pratos  $\rightarrow M$

②  $1^+ \xrightarrow{E1}$

$$G_v = 0_1 \quad 1_1 \quad 2_1$$

A'burcited

$$E_1, E_2, E_3, \dots$$
$$M_1, M_2, M_3, \dots$$

átmeneti, parciális vakbélműtővel  
össze a teljes vakbélműtő

$$T = \sum_{b \in M} T(b)$$

Fermi-fee asymptotically:  $|\langle n_2 | \phi | n_0 \rangle|^2$

$$Q_{2m}^E = L + L$$

$$M_{2M}^M = \underline{\hspace{1cm}} \underline{\hspace{1cm}}$$

$$Q_{\lambda m}^E = e \sum_{i=1}^Z r_i^2 Y_{\lambda m}^*(\vec{r}_i) - i\mu_0 \frac{2}{\lambda+1} \sum_{i=1}^A q_i (\vec{\sigma}_i \times \vec{r}_i) \cdot \vec{\nabla} (r_i^2 Y_{\lambda m}^*)$$

$$\mu_{2m}^4 = \mu_0 \sum_{i=1}^N q_i \vec{S}_i \cdot \vec{\nabla} (r_i^2 Y_{2m}^{\text{ex}}) + \frac{2\mu_0}{2+1} \sum_{i=1}^N \vec{l}_i \cdot \vec{\nabla} (r_i^2 Y_{2m}^{\text{ex}})$$

Ha  $\sigma = \ell = g = \gamma = 1$

$$\frac{Q_2 (2 \text{ kg})}{Q_2 (1 \text{ kg})} \approx \frac{A \mu_0 2 R^2}{2 e R^2}$$



betűt állapát hullámfor-e mértékéjé fu-10 sorbátörödi  
 $kr < 2R$   
 $\approx 6-8 \text{ fm}$   
 utána durrán lecseng.

$$kr < 2R < \frac{2\hbar}{\hbar} R = \frac{E_F}{\hbar c} R \approx \frac{E_F}{30 \text{ MeV}} < 1$$

$\hbar c \approx 197 \text{ MeV}$

azé ekkor igazat a fentiek  $\Rightarrow$  ez a hosszúhullámú  
 döröglet

$$\frac{Q_2(2. \text{ tag})}{Q_2(1. \text{ tag})} \approx \frac{A \mu_0 2R^2}{2eR^2} = \frac{\hbar c}{mc^2} = \frac{E_F}{938 \text{ MeV}} < 1$$

$Z \approx \frac{A}{2} \mu_0 = \frac{\hbar c}{2mc^2}$

2. tag az első mellett elhanyagolható

$$\frac{M_2}{E_2} \approx \frac{A \mu_0 R^{2-1}}{2eR^2} \approx \frac{\hbar c}{mc^2 R} = \frac{197 \text{ MeV}}{938 \text{ MeV} \cdot (6-8) \text{ fm}} < 1$$

1. tagok  
 hányadosa

mágnéses átmenet adate ~~pp~~ multipolaritásra  
 sokkal valószínűsebb, mint az elektronos

$$T(\delta(\lambda+1)) = \underbrace{(2\lambda)^2 \frac{(2\lambda+1)!!}{[2(\lambda+1)+1]!!}}_{\left(\frac{kr}{2\lambda+3}\right)^2} T(\delta\lambda)$$

$$T(\delta(\lambda+1)) \ll T(\delta\lambda)$$

$$\begin{aligned} E_1 &\gg E_2 \gg E_3 \gg \dots \\ M_1 &\gg M_2 \gg M_3 \gg \dots \\ E_1 &\gg M_1; E_2 \gg M_2 \end{aligned}$$

$2\lambda \ll 1$   
 Mindegy esak  
 (kis energiájú) hosszúhullámú  
 határozatlan igaz.  $\Downarrow$   
 Nagy energián más NEM  
 igaz



$$\lambda = 1, 2, \dots$$

$0 \rightarrow 0$   $\lambda = 0$  kenne  $\Rightarrow$  természetben nincs  $\lambda = 0$  átmenet?  
de tud EM-2h-val átmenni.

Há van az atommagon kívül más is: megengedett  
pl.: atom

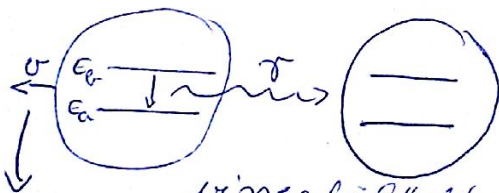
átmenet során felzabáló energia  
és imp. mom. nem van a fotonnál,  
hanem az elektronnak is átadódik.

Ex már működik  $\downarrow$

kötési energia:  $e^-$ -ra  $eV$  }  $\Rightarrow$  elektron talvolta  
itt az energiát  $\approx 2eV$  } konverziós elektron.

• 2 foton mindkettő imp. mom. : 1.

Elsőrendben tilott, de másodrendben megengedett  
folyamat  $\downarrow$   
nagyon kicsi valószínűség.



viszkalózkodás miatt nem megy végbe ez az  
átmenet.  
impulzus megmaradás miatt viszkalózkodik

Alacsonyenergia: nem relativisztikus eset  
mag: GeV foton: MeV

$$\Delta E = E_b - E_a = E_\gamma + \frac{1}{2} M v^2$$

$$M v = \frac{E_\gamma}{c}$$

$$\Delta E = E_\gamma + \frac{E_\gamma^2}{2 M c^2}$$

nagyon kicsi  
 $\Delta E \approx E_\gamma$

$$E_\gamma = \Delta E - \frac{E_\gamma^2}{2 M c^2} \approx \Delta E - \frac{(\Delta E)^2}{2 M c^2}$$

viszkalózkodási energia  
 $E_\gamma$  kicsi



$$M = m_p$$

$$E_\gamma = 1 \text{ MeV}$$

$$E_R = 5 \cdot 10^4 \text{ MeV} \rightarrow \text{2-szer ekkora energiát vesz el a foton, mint beérkezésekor is megkapja}$$

$$E_R = \frac{(\Delta E)^2}{2mc^2}$$

Itt csak a profilnak persze van egy szélessége, atommagra:  $\Gamma \approx 10^3 - 10^6 \text{ eV} \ll E_R$

Nem lehet elgátló a másið mag gerjesztése

Net lehet csúszni, hogy ez miúis eredményen

1) hőmozgás  $\Rightarrow$  melegeítés

$$\text{atommag energiája ekkor: } E_{\text{mag}} = \frac{1}{2} M(v + v_T)^2$$

termikus sebesség

$$E_{\text{mag}} = \underbrace{\frac{1}{2} M v^2}_{E_R} + \underbrace{\frac{1}{2} M v_T^2}_{E_T} + \underbrace{M v v_T}_{E_D}$$

max. abszolútus termikus Doppler

$\sim \leftarrow \bigcirc$   
ha szembejön  
látja elég nagy  
E-ját lesz  $\gamma$ .

$$E_D = M v v_T = \frac{E_R}{c} \sqrt{\frac{3kT}{M}} \approx \frac{E_R \sqrt{1 \text{ eV}}}{\sqrt{10^4 \text{ MeV}}} = 10^{-5} E_R$$

$T=300 \text{ K}$   $Mc^2 \approx 10^3$

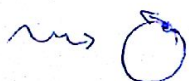
$$\frac{1}{2} M v_T^2 = \frac{3}{2} kT \quad v_T = \sqrt{\frac{3kT}{M}} \quad 1 \text{ eV} = 11600 \text{ K} \cdot k_B$$

$$\sqrt{\frac{3kT}{M}} \stackrel{T=300}{=} \sqrt{\frac{3 \cdot 300 \text{ eV}}{11600 M}} \approx \sqrt{\frac{1000}{10000 M}} = \frac{1}{100 M}$$

$$E_R = 500 \text{ eV} \quad E_D = 10 \text{ eV} \quad \text{nem segít}$$

$$E_T = \frac{3}{2} kT = \frac{3}{2} 300 \cdot \frac{1}{11600} \text{ eV} \approx 0,05 \text{ eV}$$

2) Rajzol a másið magot a sűrűre (Doppler mechanika)



$$E_M = M v \cdot v_m = \frac{E_R}{c} v_m =$$

$$= E_R \frac{v_m}{c} = 5 \cdot 10^4 \text{ MeV}$$

$$\frac{v_m}{c} = 5 \cdot 10^{-4}$$

$$v_m = \frac{1}{2} \omega = 1 \text{ m} \cdot 2\pi f = c \cdot 5 \cdot 10^{-4} \Rightarrow 25 \cdot 10^4 = f$$



25000 fordulat / s

átengely fordulat száma T1-be 2000 fordulat/min  
ultracentrifuga urándioxidosálpé:  $\approx 40-80$  ezer  
fordulat/min

$$\bar{E}_R = \frac{E_z^2}{2Mc^2}$$

A=60

ha  $M$  elég nagy jó a mechanikai  
módszer is

3.3. Kossbauer

Isotópgázok  $U/M$   
bővebb vizsga  $\Rightarrow$  olyan kicsit  
bővebb vizsga, h. gyakorlati kell  
lenni, h. a levezetés ne maradjon el.

## Magmodellek

A=3 197... -ban oldották meg először numerikusan

A=4 1984 1%-nál kisebb hibával

A=6 1995

ma A=10  $\Rightarrow$  supercomputing

nagyobb magokra fizikailag motivált módon kell egyenleteket  
magmodellel

- szoliditási modell
- egyrétekes modell

## 1. Cseppmodell

Szoliditási modell

atommag mint vízcsepe az űrben

$\rightarrow$  összehasonlításban folyadék, sűrűség konstans

$$\rho = \frac{A}{V} = \frac{A}{\frac{4}{3}\pi r_0^3 A^{3/3}} = 0,138 \frac{\text{maglép}}{\text{fm}^3} \quad R = r_0 A^{1/3} \quad r_0 \approx 1,2 \text{ fm}$$



↳ másodszor csak az konstanciával határozhatjuk meg.  $E_A$

↳ felülírva viszont a nem létező konstanciával való szorzat is belevethető  $\Rightarrow$  ezt is kell venni.

létező energia  $\Rightarrow$  végtelenbe tartóvala mennyi energiát lehet nyerni.

$$E_B = \underbrace{C_1 A}_{\text{elektrosztatikus}} - \underbrace{C_2 A^{2/3}}_{\text{felületi}} - C_3 \frac{Z^2}{A^{1/3}} - C_4 \frac{(A-2Z)^2}{A} + \frac{\delta}{A^{3/4}}$$

atommag energiája

$$E = -E_B$$

$$\delta = \begin{cases} 1 & \text{p s} & \text{p s} \\ 0 & \text{p t} & \text{p s} \\ -1 & \text{p t} & \text{p t} \end{cases}$$

második tag fizikája

Levezető a 'S<sub>0</sub>' singlet

$L=0, S=0$  energetikailag levezető  
 $\uparrow \downarrow$  protonokra majdnem  
 kötött

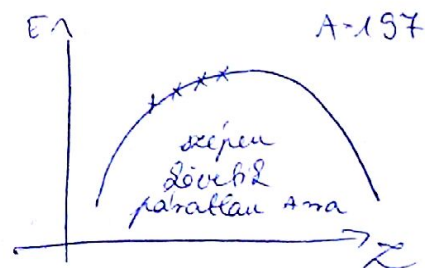
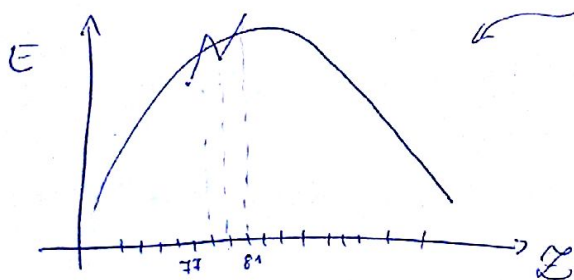
$$C_1 = 15,56 \quad C_2 = 17,23 \quad C_3 = 0,7 \quad C_4 = 233$$

1 másodszor jött  
 létező energia kb

hlf:

$$A = \frac{198}{100}$$

$$Z = \frac{198}{100} - 81$$



A növekedése esetén hol az  $E_B$  maximuma  $Z$ -ben?

$$\left. \frac{\partial E_B}{\partial Z} \right|_{A=\text{const}} = 0 = -2C_3 \frac{Z}{A^{1/3}} + 4C_4 \frac{(A-2Z)}{A}$$

$$A^{2/3} C_3 Z = 2C_4 (A - 4C_4 Z)$$

$$Z = \frac{2C_4 A}{A^{2/3} C_3 + 4C_4} = \frac{A/2}{1 + \frac{C_3}{4C_4} A^{2/3}} = \frac{A/2}{1 + 0,0075 A^{2/3}}$$

nagy magakra kisebb lesz, mint  $A/2$ .



Hef:

A = 50

100

150

2000

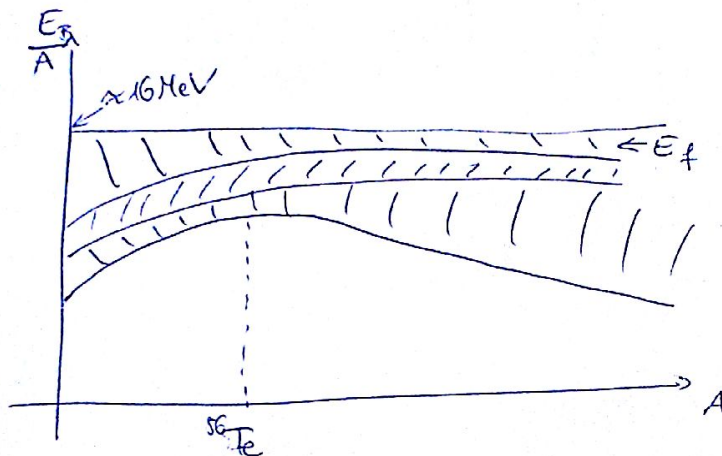
250

$P_0 \Rightarrow A = 208$

$Z = 82$   $N = 126$

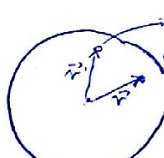
magikus számok

Z-t becsüvelésére A-t megadhatnánk például  
nem: ) A=56 - az Leve Lejonne.



C3 eslede

R sugarú gömbben Z db proton  $\Rightarrow$  Coulomb-energia?



$$\int d^3\vec{r}' \frac{Z-1}{V} \frac{e^2}{|\vec{r}-\vec{r}'|} = V(\vec{r})$$
 töltéssűrűség  
amit besz

$$V(\vec{r}) = \frac{Z-1}{V} \int d^3\vec{r}' \frac{e^2}{|\vec{r}-\vec{r}'|} = \frac{(Z-1)e^2}{V} \int d^3\vec{r}' \frac{1}{\sqrt{r^2 + r'^2 - 2rr'\cos\theta}} =$$

$$= \frac{(Z-1)e^2}{V} \int_0^R dr' \int_0^\pi \int_0^{2\pi} \frac{1}{\sqrt{r^2 + r'^2 - 2rr'\cos\theta}} r'^2 \sin\theta d\theta dr' =$$

$$= \frac{(Z-1)e^2}{V} \int_0^R dr' \left[ \frac{2\sqrt{r^2 + r'^2 - 2rr'\cos\theta}}{2rr'} \right]_0^\pi r'^2 dr' =$$

$$= \int_0^R \left( \frac{r+r'}{r'} - \frac{r-r'}{r'} \right) r'^2 dr' + \int_R^r \left( \frac{r+r'}{r'} + \frac{r-r'}{r'} \right) r'^2 dr' =$$



$$V(r) = \int_0^r \frac{2}{r'} r'^2 dr' + \int_r^R \frac{2}{r'} r' dr' = \frac{2}{3} r^2 + 2R^2 - r^2 = R^2 - \frac{1}{3} r^2$$

$$V(\vec{r}) = \frac{e^2(z-1)}{V} 2\pi \left( R^2 - \frac{1}{3} r^2 \right)$$

$$\frac{1}{2} \int d^3\vec{r} \frac{\hbar^2}{V} \nabla^2 V(\vec{r}) = \frac{e^2(z-1) 2\pi \hbar^2}{2V^2} \int_0^R d^3r \left( R^2 - \frac{1}{3} r^2 \right) = \frac{e^2(z-1) 2\pi \hbar^2}{2V^2} \frac{16}{15} R^5 =$$

kindecsint  
2-zer normál

$$= \frac{e^2(z-1) 2\pi \hbar^2}{R} \cdot \frac{3}{5} \approx 0.7 z(z-1) A^{-1/3}$$

1.44 MeV fm

$$\int_0^R d^3r \left( R^2 - \frac{1}{3} r^2 \right) = 4\pi \int_0^R \left( R^2 \frac{r^3}{3} - \frac{1}{15} r^5 \right) = \frac{16\pi}{15} R^5$$

$$0.7 z(z-1) A^{-1/3} \xrightarrow{\text{nagy}} 0.7 \frac{z^2}{A^{1/3}}$$

Következő generalizáció leírása

Forgás:

$$E_f = \frac{L^2}{2I}$$

$$\hat{L}_f = \frac{\hbar^2}{2I}$$

$$\Rightarrow E_f = \frac{\hbar^2 J(J+1)}{2I} (1 - 2J(J+1))$$

Vagy sebességgel forgó  $\Rightarrow$  szilapul  $\rightarrow$

Há nem lapul ki:



nagyon nagy  $J$ -re

nagylengely  
szilapul

$> \frac{2}{1}$  superdeformált  
falsó Bama-ba's  
 $> \frac{3}{1}$  hiperdeformált



Niels Bohr leszámolta, h. lb. mire basad az urak  
a seppmodellben



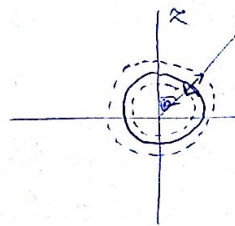
gömbfelület elre továbbmegy  $\rightarrow$  axiálál a felület  
felületeg alakába

$$R(r, \vartheta, \varphi, t) = R_0 \left( 1 + \sum_{l=0}^{\infty} \sum_{m=-l}^l C_{lm}(t) Y_{lm}(\vartheta, \varphi) \right)$$

teljes fű rendszer, mely a gömbön értelmezett: gömb-  
fü-és.

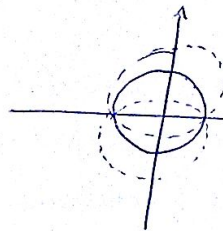
Elemi gerjesztés alakába hogy rezeg?

$$Y_{00} = \frac{1}{\sqrt{4\pi}}$$



nem lehet ilyen rezgési módus,  
magnét változtatja a  
sűrűséget  
írásként

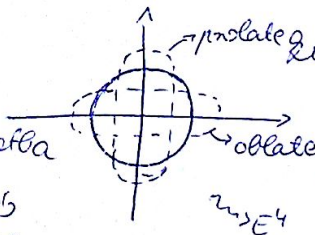
$$Y_{10} \sim P_1(\cos\vartheta) \sim \cos\vartheta$$



z tengely körüli  
axiáláció  
nem lesz, mert  
TKP nem marad meg  
magnét dipól

$$Y_{20} \sim P_2(\cos\vartheta) \sim 3\cos^2\vartheta - 1$$

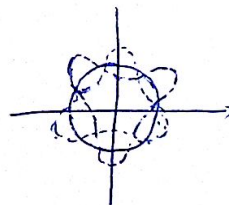
ha legenergetikus állapotba  
kibocsát egy ~~kvadrupól~~ foton és  
marad a gömbözeű áll.



kvadrupól rezgés

✓

$$Y_{30} \sim P_3(\cos\vartheta) \sim 5\cos^3\vartheta - 3\cos\vartheta$$



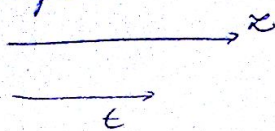
oktupól rezgés

✓

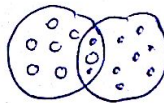
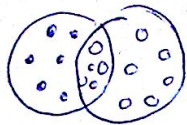
Kísérlet azt mutatja, hogy van dipól rezgés, mérték  
legenergetikus során dipól foton.



Dipól



magban 2 féle fizikailag  
proton és neutron



ízevető dipól oszcilláció  $\sim A^{1/6}$

(Vibrio) Goldhaber-Teller

## Fermi-gáz modell

Magban az elhelyezkedés teljesen szabadon  
megváltozhat, fermionok ideális gáza

nem ütközik  
egyensúlyban vannak

Fermi-Dirac eloszlás követése

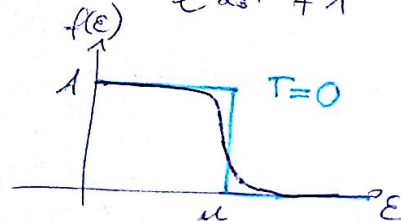


$h^3$  térfogatban  
elemi fáziscellában

$$f = \frac{g \rightarrow \text{lehető skal, fázis vána}}{e^{\frac{E-\mu}{2kT}} + 1}$$

$$A = \frac{g}{h^3} \int \frac{1}{e^{\frac{E-\mu}{2kT}} + 1} d^3\vec{r} d^3\vec{p}$$

1 fáziscellában hely  
rekeszre



rekeszszám

MeV-es energiák  $\Rightarrow$  nem relativisztikus

$$E = \frac{p^2}{2m}$$

$$\int d^3r \rightarrow V$$

$$\int d^3p \xrightarrow[\text{függ}]{\text{csak abs. és}} \int dp \, 4\pi p^2$$

$$A = \frac{g 4\pi V}{h^3 (2\pi)^3} \int_0^\infty \frac{1}{e^{\frac{E-\mu}{2kT}} + 1} p^2 dp$$

$$p = \sqrt{2mE} \quad dp = \sqrt{2m} \frac{1}{2\sqrt{E}} dE$$



$$A = \frac{g^4 \pi^2 V}{2^3 (2\pi)^3} \int_0^\infty 2m \epsilon \sqrt{2m^2 - \epsilon^2} \frac{1}{2\epsilon} d\epsilon$$

$$\underbrace{\frac{1}{2} (2m)^{3/2} \epsilon^{1/2} d\epsilon}_{T \rightarrow 0 \text{ C. } \int_0^\infty \epsilon^{1/2} d\epsilon}$$

$$\frac{A}{V} = \frac{g^4}{2^3 2\pi^2} \frac{1}{2} (2m)^{3/2} \frac{2}{3} \mu^{3/2}$$

$$\mu = \frac{\hbar^2 c^2}{2mc^2} \left( \frac{6\pi^2 g}{g} \right)^{2/3} \approx 33 \text{ MeV}$$

ennyivel is a gázban az energia, ha plusz 1 részecske is hozzávesz ed úgy, hogy S=állandó, V=állandó

DE! protonok és neutronok sűrűsége nem az.

Több neutron van, mint proton.

$$\frac{N_p}{N} = \frac{A/2}{1 + 0.0075 A^{2/3}}$$

$$\mu_n = g \frac{\hbar^2}{2m} \left( \frac{6\pi^2 g}{g} \right)^{2/3} \left( \frac{2N}{A} \right)^{2/3} = \left( \frac{2N}{A} \right)^{2/3} \mu$$

$$\rho_n = \frac{N - N_p}{V} = \frac{A}{V} - \rho_p = \rho \frac{N}{A}$$

$$g_n = \frac{g}{2} \quad g = 4$$

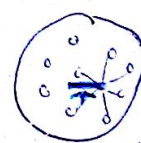
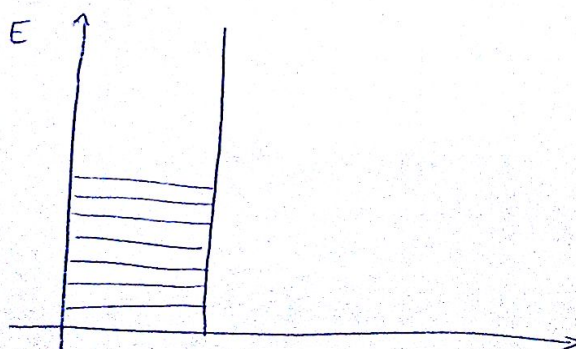
$$\rho_p = \frac{N_p}{V} = \frac{N_p}{A} \cdot \frac{A}{V} = \rho \frac{N_p}{A}$$

$$\mu_n = \left( \frac{2N}{A} \right)^{2/3} \mu$$

$$A \approx 100$$

$$\mu_n = 35 \text{ MeV}$$

$$\mu_p = 31 \text{ MeV}$$



atommag

protonok és neutronok

~

kis mennyiségű neutron

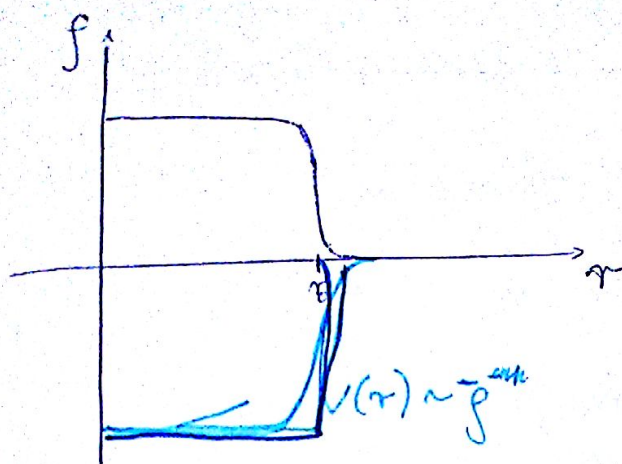
és az összes többi proton

és az összes elektron

átlagos  $\langle V(r) \rangle$

mindannyian csak ex az protonok pot. hat.





elektronokból  
atommag körül elterjed  
a sűrűség

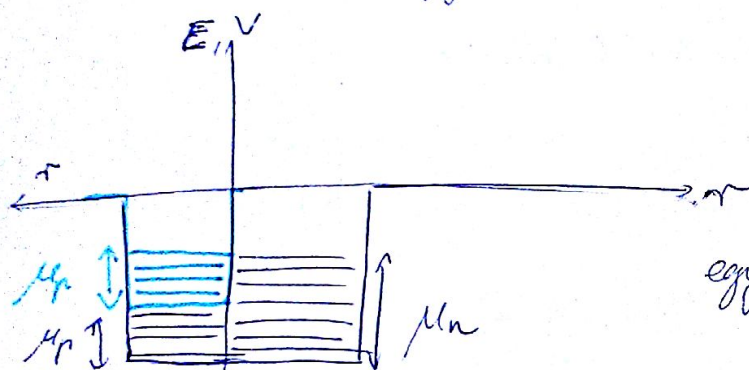
$$V = \frac{-V_0}{e^{\frac{r-r_0}{b}} + 1} \quad \text{Saxon-Woods potenciál}$$

5. diffúzió

$$r < r_0 \quad e^{\frac{r-r_0}{b}} \ll 1 \quad \mu_i \approx -V_0$$

$$r > r_0 \quad e^{\frac{r-r_0}{b}} \gg 1 \quad \mu_i \approx e^{-\frac{(r-r_0)}{b}} (-V_0)$$

E a pot. begyengítésű és a meggyengítésű potenciálra —



felgalt kell volna a potenciál  
vonatkozó pot. "alját".

egyensúlyban még kell,  
Fermi-szint  
hogy egyezzen a kémiai  
potenciál  $\Rightarrow$  hogy differenciál-  
hányon elbomlik, de  
valóságban minis ilyen

kimértékű energia

$$T = \frac{gV}{h^3 (2\pi)^3} \int \frac{E}{e^{\frac{E-\mu}{kT}} + 1} d^3\vec{r} d^3\vec{p} =$$

$$= \frac{gV}{h^3 (2\pi)^3} \int_0^\infty \frac{E}{e^{\frac{E-\mu}{kT}} + 1} 4\pi p^2 dp \frac{1}{2} \frac{1}{E} dE =$$

ldm:  $T \rightarrow 0$

$$= \frac{gV}{h^3 (2\pi)^3} (2m)^{3/2} \frac{1}{2} \int_0^\mu E^{3/2} dE = \frac{gV (2m)^{3/2}}{h^3 10\pi^2} \mu^{3/2}$$

$$\mu = \frac{h^2}{2m} \left( \frac{6\pi^2 n}{g} \right)^{2/3}$$



$$\mu^{3/2} = \frac{\hbar^3}{(2m)^{3/2}} \frac{6\pi^2 p}{g}$$

$$T = \frac{gV (2m)^{3/2}}{\hbar^3 10^{22}} \mu^{3/2} \mu = \frac{A \cdot 3}{5} A \mu = \frac{3}{5} A \frac{\hbar^2}{(2m)^{3/2}} \left( \frac{6\pi^2 p}{g} \right)^{2/3} =$$

$$= \frac{3}{10} A \frac{\hbar^2}{m} \left( \frac{6\pi^2 p}{g} \right)^{2/3} = CA \quad C \approx 20 \text{ MeV}$$

↳ térfogat tag

kinetikus energia arányos a tömegszámmal,  
a térfagattól függ 1. sorozatban.

Adott az utolsó, hogy a  $p = \text{konst}$ , de  $v \cdot p = A$   
ki fog jönni sebesség

$$T = T_n + T_p = \left( 2^{-2/3} \left( \frac{N}{A} \right)^{5/3} + 2^{2/3} \left( \frac{Z}{A} \right)^{5/3} \right) T = 2^{-2/3} \left( \left( \frac{N}{A} \right)^{5/3} + \left( \frac{Z}{A} \right)^{5/3} \right) CA$$

$$\rho_n = \rho \frac{N}{A} \quad \rho_p = \rho \frac{Z}{A}$$

$$g_n = \frac{g}{2} = g_p$$

$$\begin{aligned} T_n &\sim \rho^{5/3} \\ T &\sim \mu^{5/2} \quad \mu \sim \rho^{2/3} \\ T &\sim g \rho^{5/2} \quad \rho \sim g^{-2/3} \Rightarrow T \sim g^{-2/3} \end{aligned}$$

$x = \frac{N-Z}{A}$  N = Z + xA = A - Z = A \frac{1+x}{2}

A = 2Z + xA

Z = A \frac{1-x}{2}

$$\left( \frac{Z}{A} \right)^{5/3} = \frac{1}{2^{5/3}} (1-x)^{5/3}$$

$$\left( \frac{N}{A} \right)^{5/3} = \frac{1}{2^{5/3}} (1+x)^{5/3}$$

$$(1-x)^{5/3} = 1 - \frac{5}{3} \frac{(1-x)^{2/3}}{2 \cdot 1} \Big|_{x=0} x + \frac{5}{3} \frac{2}{3} \frac{(1-x)^{-1/3}}{2} \Big|_{x=0} x^2 - \dots =$$

$$= 1 - \frac{5}{3} x + \frac{5}{9} x^2$$

$$(1+x)^{5/3} = 1 + \frac{5}{3} x + \frac{5}{9} x^2$$

$$\left. \begin{aligned} (1-x)^{5/3} &= 1 - \frac{5}{3} x + \frac{5}{9} x^2 \\ (1+x)^{5/3} &= 1 + \frac{5}{3} x + \frac{5}{9} x^2 \end{aligned} \right\} 2 + 2 \cdot \frac{5}{9} x^2 \Rightarrow \frac{1}{2^{5/3}} (2 + 2 \cdot \frac{5}{9} x^2) =$$

$$= \left( \frac{Z}{A} \right)^{5/3} + \left( \frac{N}{A} \right)^{5/3}$$



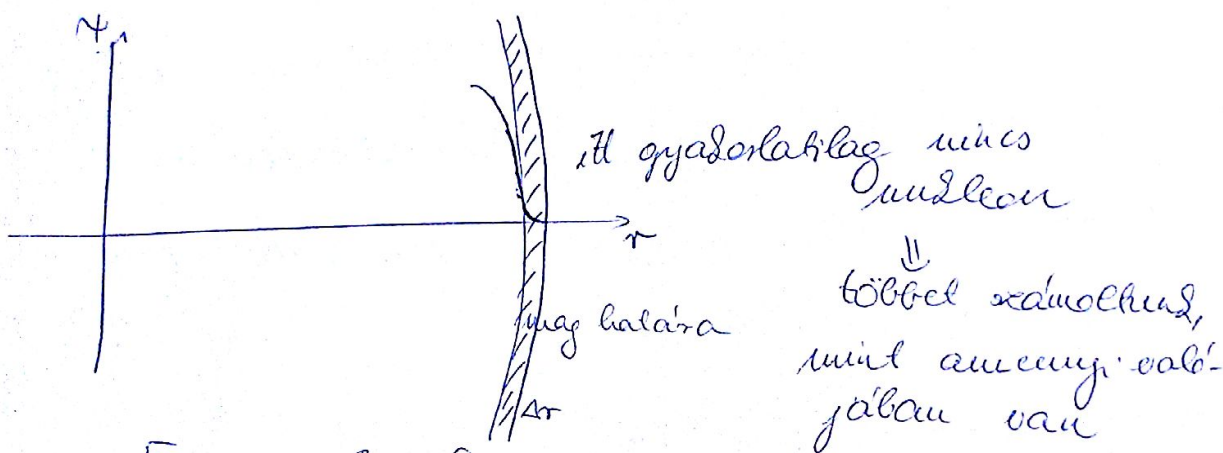
$$T = 2^{2/3} \frac{1}{2^{5/3}} 2 \left(1 + \frac{5}{9} x^2\right) CA = \left(1 + \frac{5}{9} \frac{(N-Z)^2}{A^2}\right) CA =$$

$$= CA + \frac{5}{9} C \frac{(N-Z)^2}{A} \quad \text{2 tag a csapmódellből}$$

lef. ~~felület~~ szimmetria

$$\hookrightarrow C = 20 \text{ MeV nem jó } -16 \text{ MeV}$$

felület tag:



$$E_F = \frac{g^2}{h^3 (2\pi)^3} \int \frac{\epsilon}{e^{\frac{\epsilon - \mu}{2T}} + 1} F \Delta r d^3 \vec{p} =$$

$\Delta r \Delta p \approx \frac{h}{2}$        $\frac{h}{2p}$        $4\pi p^2 dp$

Lövéletés

$$\Delta r \approx \frac{h}{2p}$$

$$= \frac{g h F}{h^3 2 (2\pi)^3} \int_0^\infty \frac{\epsilon}{e^{\frac{\epsilon - \mu}{2T}} + 1} p dp =$$

$$p^2 = 2m\epsilon$$

$$2p dp = 2m d\epsilon$$

$$= \frac{g h F}{h^3 2 (2\pi)^3} \int_0^\infty \frac{\epsilon}{e^{\frac{\epsilon - \mu}{2T}} + 1} d\epsilon =$$

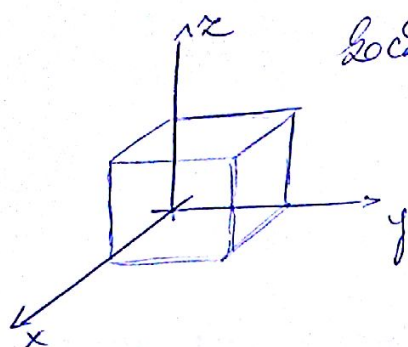
$T \rightarrow 0$        $\int_0^\mu \epsilon d\epsilon = m \frac{\mu^2}{2}$

$$= \frac{g F}{h^2 8\pi^2} \frac{4m}{\mu^2} \mu^2 = \frac{g F}{h^2 8\pi^2} \frac{4m}{4\mu^2} \left(\frac{6\pi^2}{g}\right)^{4/3} = \frac{g^2}{8\pi^2 m^2} \left(\frac{3\pi^2}{g}\right)^{4/3} F$$

$$\mu = \frac{h^2}{2m} \left(\frac{6\pi^2}{g}\right)^{2/3}$$



$$T_F^V = \frac{a^2}{80\pi \cdot m} \left( \frac{3\pi^2 \rho}{2} \right)^{4/3} \quad \text{adatok alapján}$$



hóda alábbi atommag

$$\psi = \sin(k_x x) \sin(k_y y) \sin(k_z z)$$

$$x=0 \quad \psi=0$$

$$L k_x = n_x \pi$$

$$k_x = \frac{n_x \pi}{L} \quad k_y = \frac{n_y \pi}{L} \quad k_z = \frac{n_z \pi}{L}$$

$$k^2 = k_x^2 + k_y^2 + k_z^2$$

$$\frac{\hbar^2 k^2}{2m} \leq \mu = \frac{\hbar^2}{2m} \left( \frac{6\pi^2 \rho}{g} \right)^{2/3}$$

$$k_x^2 + k_y^2 + k_z^2 \leq \left( \frac{6\pi^2 \rho}{g} \right)^{2/3}$$

$$\frac{\pi^2}{L^2} (n_x^2 + n_y^2 + n_z^2) \leq \left( \frac{6\pi^2 \rho}{g} \right)^{2/3}$$

$$n_x^2 + n_y^2 + n_z^2 \leq \frac{L^2}{\pi^2} \left( \frac{6\pi^2 \rho}{g} \right)^{2/3} = A^2$$

A sugarú gömbben mennyi az egységnyi tömegű részecske

$$\frac{4\pi}{3} A^3 = \frac{4\pi}{3} \frac{L^3}{\pi^3} \left( \frac{6\pi^2 \rho}{g} \right)$$

x irányú, y irányú, z irányú egységnyi vastagságú  
réteget

$$\frac{1}{8} \left( \frac{4\pi}{3} A^3 - 3 \cdot \pi \cdot A^2 \right) \cdot \frac{4}{g} = A \cdot \text{tömeg/m}^2$$



	$C_1$	$C_2$	$C_3$	$C_4$	
Weissacker	-16	17.2	0.7	23.3	MeV
Fermi (V=0)	20	7.6	0.7	11	MeV

perturbációszámítás NEM jó  $T=20$   $V=-36$   
de nincs jobb.

$\frac{p^2}{2m}$  Fermi eloxlasza szidlagolva  $\Rightarrow T$

$\Phi_i(\vec{r}_i) = \frac{1}{\sqrt{V}} e^{i\vec{p}_i \cdot \vec{r}_i}$   $\chi, \tau$  egyes mialkonal hfo-e  
orokomalel

$$\Psi = \frac{1}{\sqrt{A!}} \sum_p (-1)^{\pi_p} \Phi_{p_1}(\vec{r}_1) \Phi_{p_2}(\vec{r}_2) \dots \Phi_{p_A}(\vec{r}_A)$$

Slater-det.

1-A valual permutációja

$\pi_p$  permutáció paritása.

$$\langle \Psi | \Psi \rangle = 1$$

$$\langle \chi | \chi \rangle = \int \Phi_{p_i}(\vec{r}_i) \Phi_{p_i'}^*(\vec{r}_i) d^3r_i \Rightarrow \delta_{p_i p_i'}$$

$$\langle \chi | \hat{T} | \chi \rangle = \sum_i \langle \Phi_i | \hat{t}_i | \Phi_i \rangle = \sum_i \frac{p_i^2}{2m}$$

$\hat{T} = \sum_i \hat{t}_i$  Fermi - Dirac jól működik

$$\hat{V} = \frac{1}{2} \sum_{\substack{i,j=1 \\ i \neq j}}^A v_{ij}(\vec{r}_i - \vec{r}_j)$$

$$\langle \chi | \hat{V} | \chi \rangle = \sum_{\substack{i,j=1 \\ i \neq j}}^A \langle \Phi_{ij} | v_{ij} | \Phi_{ij} \rangle$$

jól, mert van  
sym és  
exsym

$$\Phi_{ij}^{ex} = \frac{1}{\sqrt{2}} (\Phi_i(\vec{r}_i) \Phi_j(\vec{r}_j) + \Phi_j(\vec{r}_i) \Phi_i(\vec{r}_j))$$

$$\Phi_{ij}^{an} = \frac{1}{\sqrt{2}} (\Phi_i(\vec{r}_i) \Phi_j(\vec{r}_j) - \Phi_j(\vec{r}_i) \Phi_i(\vec{r}_j))$$

Hellre - Fockbau:

$$\langle \chi | \hat{V} | \chi \rangle = \sum_{\substack{i,j=1 \\ i \neq j}}^A \langle \Phi_i(\vec{r}_i) \Phi_j(\vec{r}_j) | v_{ij}(\vec{r}_i - \vec{r}_j) | \underbrace{\Phi_i(\vec{r}_i) \Phi_j(\vec{r}_j)}_C - \underbrace{\Phi_j(\vec{r}_i) \Phi_i(\vec{r}_j)}_K \rangle$$

ha  $\langle \Phi_i(\vec{r}_i) \Phi_j(\vec{r}_j) | v_{ij}(\vec{r}_i - \vec{r}_j) | \Phi_i(\vec{r}_i) \Phi_j(\vec{r}_j) \rangle = \langle \Phi_i(\vec{r}_i) \Phi_j(\vec{r}_j) | v_{ij}(\vec{r}_i - \vec{r}_j) | \Phi_j(\vec{r}_i) \Phi_i(\vec{r}_j) \rangle$



$$\phi_i = \frac{1}{\sqrt{V}} e^{i \vec{k}_i \cdot \vec{r}} \chi_r$$

$$\chi = \frac{1}{\sqrt{A!}} \sum_p (-1)^{\pi_p} \phi_{p_1}(\vec{r}_1) \phi_{p_2}(\vec{r}_2) \dots \phi_{p_A}(\vec{r}_A)$$

$$\langle \chi | \hat{T} = \sum_i \hat{t}_i | \chi \rangle = \sum_i \underbrace{\langle \phi_i | \hat{t}_i | \phi_i \rangle}_{\frac{p_i^2}{2m}} \Rightarrow \langle T \rangle = \frac{p^2}{2m}$$

$$\langle \chi | \hat{V} = \frac{1}{2} \sum_{\substack{i,j=1 \\ i \neq j}}^A v_{ij} | \chi \rangle = \frac{1}{2} \sum_{\substack{i,j=1 \\ i \neq j}}^A \left( \frac{3}{8} \langle \phi_{ij}^{xx} | v_{ij} | \phi_{ij}^{xx} \rangle + \frac{5}{8} \langle \phi_{ij}^{ax} | v_{ij} | \phi_{ij}^{ax} \rangle \right)$$

$$\phi_{ij}^{xx} = \frac{1}{\sqrt{2}} (\phi_i(\vec{r}_i) \phi_j(\vec{r}_j) + \phi_j(\vec{r}_i) \phi_i(\vec{r}_j))$$

$$\phi_{ij}^{ax} = \frac{1}{\sqrt{2}} (\phi_i(\vec{r}_i) \phi_j(\vec{r}_j) - \phi_j(\vec{r}_i) \phi_i(\vec{r}_j))$$

Milyen valószínűséggel lesznek a rendszer spin- v. axim k állapotban. Keint a spin iszpin meghatározása

S	T	kr	állapotok száma
0	0	axim	2molekularendszer
1	0	oxim	$1 \cdot 1 = 1$
0	1	oxim	$3 \cdot 1 = 3$
1	1	axim	$1 \cdot 3 = 3$
			$3 \cdot 3 = 9$

$$\text{oxim} : \frac{3+3}{16} = \frac{3}{8}$$

$$\text{axim} : \frac{1+9}{16} = \frac{5}{8}$$

$$\langle \hat{V} \rangle_{12} = \frac{1}{2} \left( \frac{3}{8} \langle \phi_{12}^{xx} | v_{12} | \phi_{12}^{xx} \rangle + \frac{5}{8} \langle \phi_{12}^{ax} | v_{12} | \phi_{12}^{ax} \rangle \right)$$

integrálalással

$$\langle \hat{V} \rangle_{12} = \frac{1}{2} \frac{1}{V^2} \int \frac{3}{8} e^{(-i \vec{k}_1 \cdot \vec{r}_1 - i \vec{k}_2 \cdot \vec{r}_2)} + e^{(-i \vec{k}_2 \cdot \vec{r}_1 - i \vec{k}_1 \cdot \vec{r}_2)} d\vec{r}_1 d\vec{r}_2$$



$$\langle V \rangle_{12} = \frac{1}{2} \left( \frac{3}{8} \langle \phi_{12}^{12} | v_{12} | \phi_{12}^{12} \rangle + \frac{5}{8} \langle \phi_{12}^{an} | v_{12} | \phi_{12}^{an} \rangle \right)$$

$$\langle V \rangle_{12} = \frac{1}{2} \frac{1}{V^2} \frac{1}{2} \int \left[ \frac{3}{8} (e^{i\vec{q}_1 \cdot \vec{r}_1 - i\vec{q}_2 \cdot \vec{r}_2} + e^{-i\vec{q}_2 \cdot \vec{r}_1 - i\vec{q}_1 \cdot \vec{r}_2}) + \right. \\ \left. + \frac{5}{8} (e^{-i\vec{q}_1 \cdot \vec{r}_1 - i\vec{q}_2 \cdot \vec{r}_2} - e^{-i\vec{q}_2 \cdot \vec{r}_1 - i\vec{q}_1 \cdot \vec{r}_2}) \right] v_{12}(\vec{r}_2 - \vec{r}_1) d^3\vec{r}_1 d^3\vec{r}_2$$

$$\cdot \left( e^{i\vec{q}_1 \cdot \vec{r}_1 + i\vec{q}_2 \cdot \vec{r}_2} + e^{i\vec{q}_2 \cdot \vec{r}_1 + i\vec{q}_1 \cdot \vec{r}_2} \right) + \\ + \frac{5}{8} \left( e^{-i\vec{q}_1 \cdot \vec{r}_1 - i\vec{q}_2 \cdot \vec{r}_2} - e^{-i\vec{q}_2 \cdot \vec{r}_1 - i\vec{q}_1 \cdot \vec{r}_2} \right) v_{12}(\vec{r}_2 - \vec{r}_1) \cdot \\ \cdot \left( e^{i\vec{q}_1 \cdot \vec{r}_1 + i\vec{q}_2 \cdot \vec{r}_2} - e^{i\vec{q}_2 \cdot \vec{r}_1 + i\vec{q}_1 \cdot \vec{r}_2} \right) \int d^3\vec{r}_1 d^3\vec{r}_2$$

$$\textcircled{1} \cdot \textcircled{3} = 1 = \textcircled{2} \cdot \textcircled{4}$$

$$\textcircled{1} \cdot \textcircled{4} = e^{i\vec{r}_1(\vec{q}_2 - \vec{q}_1) + i\vec{r}_2(\vec{q}_1 - \vec{q}_2)} = e^{-i2\vec{q} \cdot \vec{r}}$$

$$\vec{r}_2 - \vec{r}_1 = \vec{r} \quad \vec{q}_2 - \vec{q}_1 = 2\vec{q}$$

$$\vec{r}_1 = \vec{R} + \frac{\vec{r}}{2} \quad \vec{q}_1 = \vec{k} + \vec{q}$$

$$\textcircled{2} \textcircled{3} = e^{i\vec{r}_1(\vec{q}_1 - \vec{q}_2) + i\vec{r}_2(\vec{q}_2 - \vec{q}_1)} = e^{i2\vec{q} \cdot \vec{r}}$$

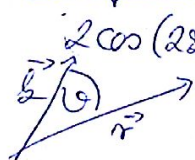
$$\textcircled{5} \textcircled{7} = 1 = \textcircled{6} \textcircled{8}$$

$$\textcircled{5} \textcircled{8} = -e^{i\vec{r}_1(\vec{q}_2 - \vec{q}_1) + i\vec{r}_2(\vec{q}_1 - \vec{q}_2)} = -e^{-2i\vec{q} \cdot \vec{r}}$$

$$\textcircled{6} \textcircled{7} = -e^{i\vec{r}_1(\vec{q}_1 - \vec{q}_2) + i\vec{r}_2(\vec{q}_2 - \vec{q}_1)} = -e^{2i\vec{q} \cdot \vec{r}}$$

$$\langle V \rangle_{12} = \frac{V}{V^2} \int \left[ 2 - \frac{1}{4} (e^{2i\vec{q} \cdot \vec{r}} + e^{-2i\vec{q} \cdot \vec{r}}) \right] v(\vec{r}) d^3\vec{r}$$

$$\int d^3\vec{r}_1 d^3\vec{r}_2 = \int d^3\vec{r} d^3\vec{R} \\ \int d^3\vec{R} = V \quad \text{wobei } \vec{R} \text{ fliegt}$$



$\Rightarrow$  4-er 2x leicht integrieren  
mines 4 fliegt

$$\int d^3\vec{r} = 2\pi \int r^2 dr \int \sin\vartheta d\vartheta$$

$$\langle V \rangle_{12} = \frac{V}{V} \int_0^\infty \int_0^\pi \left( 2 - \frac{1}{4} \cos(2qr \cos\vartheta) \right) v(r) r^2 dr \sin\vartheta d\vartheta$$

$$\left[ 2 - \frac{1}{4} \int_0^\pi \frac{\sin(2qr \cos\vartheta)}{2qr} d\vartheta \right] \int_0^\pi \cos(2qr \cos\vartheta) \cdot 2\pi(-\sin\vartheta) \sin\vartheta d\vartheta$$



$$\langle V \rangle_{12} = \frac{2\pi}{V} \int \left( 1 - \frac{1}{4} \frac{\sin(2qr)}{2r} \right) r^2 v(r) dr$$

Reid-pot :  $-V_0 \frac{e^{-\mu r}}{r}$

$V_0 = 14,9 \text{ MeV fm}$

$\mu = 0,7 \text{ fm}^{-1}$

$$\langle V \rangle_{12} = -\frac{1}{2} \frac{4\pi}{V} V_0 \int \left[ \frac{1}{\mu^2} - \frac{1}{4} \frac{1}{q^2 + \mu^2} \right]$$

2-rekeses szidantaba

$$V_{T \text{ gas}} = \frac{g^2}{h^6 (2\pi)^6} \int \frac{1}{e^{\frac{E_1 - E_F}{2k_B T} + 1}} \cdot \frac{1}{e^{\frac{E_2 - E_F}{2k_B T} + 1}} \langle V \rangle_{12} \underbrace{d^3 \vec{r}_1}_{\sim V} \underbrace{d^3 \vec{r}_2}_{\sim V} \underbrace{d^3 \vec{p}_1}_{\sim \frac{6\pi^2 g}{f}} \underbrace{d^3 \vec{p}_2}_{\sim \frac{6\pi^2 g}{f}}$$

$$E_F = \mu_F = \frac{h^2}{2m} \left( \frac{6\pi^2 g}{f} \right)^{2/3}$$

$$= \frac{p_F^2}{2m} = \frac{(2\pi \hbar)^2}{2m} \Rightarrow \lambda_F = \left( \frac{6\pi^2 g}{f} \right)^{1/3}$$

$T \rightarrow 0$  hőmérséklet

$$= \frac{g^2}{(2\pi)^6} V^2 \int_{|\vec{r}_1, \vec{r}_2| \leq |\vec{r}_F|} \langle V \rangle_{12} d^3 \vec{r}_1 d^3 \vec{r}_2 d^3 \vec{p}_1 d^3 \vec{p}_2$$

$g = 4$

$$V = -\frac{2\pi V_0}{\mu^2} A \int \left( 1 - \frac{g}{16} \frac{\mu^2}{q^2} \right)$$

$$T = \frac{3h^2}{10m} \left( \frac{3\pi^2 g}{2} \right)^{2/3} A$$

$$\frac{T+V}{A} = \underbrace{\frac{3}{10} \frac{h^2}{m} \left( \frac{3\pi^2}{2} \right)^{2/3}}_{20 \text{ MeV}} - \underbrace{\frac{2\pi V_0}{\mu^2} \int \left( 1 - \frac{g}{16} \left( \frac{2}{3\pi^2} \right)^{2/3} \frac{\mu^2}{f^{2/3}} \right)}_{-26,4 \text{ MeV}} \underbrace{\quad}_{0,171}$$

$f = 0,138 \text{ fm}^{-3}$

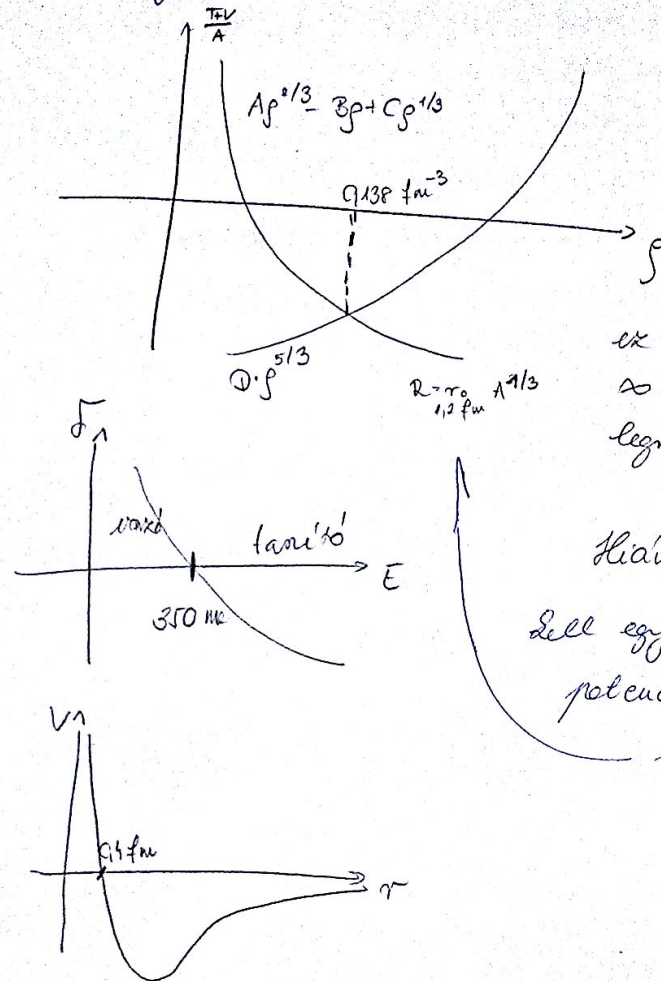
$-1,88 \text{ MeV}$

legálább más negatív

legálább a másodrendű is lehetne valószínű,  
mert az elsőrendű nagyobb mint a perturbáción



problémákra ekkor a fo-vel:



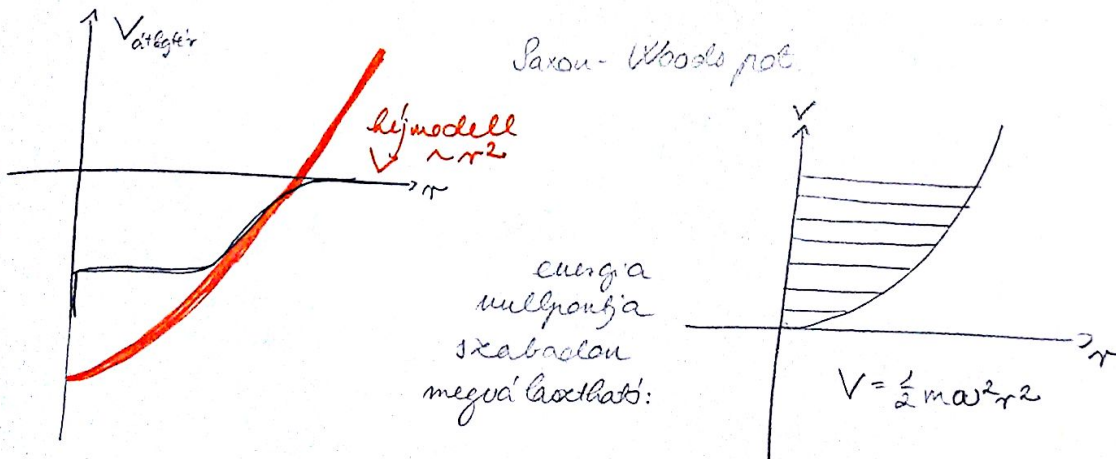
ez nem natural!  
 ~ nagy sűrűségre lesz a legmélyebb a kötési energia

Háányzik a taszító tömés  
 kell egy impulzusfüggő tag a potenciálba

$$V_e \rightarrow V_0 - \frac{1}{2} V_1$$

$V_1$ -t úgy  
 kell megválasztani;  
 ahogy  $\rho = 0.138 \text{ fm}^{-3}$

## Harmadik oszcillációs kéjmódel



Saxon-Woods pot.

kéjmódel  
 $V \sim r^2$

energia  
 nullpontra  
 szabadon  
 megválasztható:

$$V = \frac{1}{2} m \omega^2 r^2$$

Kéjmódel: szilárdan, szilárdan stabilan működő  
 magak magyarázata

Magikus számok: 2, 8, 20, 28, 50, 82, 126

húzóan stabilak, szilárd  $\Rightarrow$  neutron léte, nagyobb nem neutron léte  
 2-re esően magikus legstabilabb  $^4\text{He}$  gombrium  $^{16}\text{O}$ ,  $^{40}\text{Ca}$ ,  $^{208}\text{Pb}$



$$\frac{1}{2} \omega \omega^2 \underbrace{r^2}_{x^2 + y^2 + z^2}$$

$$n_x, n_y, n_z = 0, 1, \dots$$

$$n_1: N-2 \quad \mathcal{L} = 0, 1, \dots, N$$

$$n_3 = N - n_1 - n_2$$

$$N=0 \Rightarrow 2 \cdot 1 = 2$$

$$N=1 \Rightarrow 3 \cdot 2 = 6$$

$$N=2 \Rightarrow 4 \cdot 3 = 12$$

$$N=3 \Rightarrow 5 \cdot 4 = 20$$

$$\sum_n n_N = \sum_{j=0}^N (j+1)(j+2) = \frac{(j+1)(j+2)(j+3)}{3}$$



1) harmonikus oszcillátor pol. mc. Liegőxitése:

gömbi polár koordinátákban mc. (Descartes nagy egyenletés)

$$\psi_{n\ell m}(\vec{r}) = C_{n\ell m} r^{\ell} e^{-\frac{r^2}{2a^2}} \underbrace{L_n^{\ell+\frac{1}{2}}\left(\frac{r^2}{a^2}\right)}_{\text{Laguerre polinom}} Y_{\ell m}(\vartheta, \varphi)$$

$b$ : méret paraméter  $= \sqrt{\frac{\hbar}{m\omega}}$

$$E_N = \underbrace{(2n + \ell + \frac{3}{2})}_{N} \hbar \omega \quad \left. \begin{array}{l} n = 0, 1, \dots \\ \text{imp. mom. } \ell = 0, 1, \dots \\ m = -\ell, \dots, \ell \end{array} \right\} N = 0, 1, \dots$$

$\ell$  páros  $\Rightarrow N$  páros

$\ell$  páratlan  $\Rightarrow N$  páratlan

ugyanazon energiaszinttel kell számni

$N$	$n$	$\ell$	$m$	$n_N$
0	0	0	<del>0</del>	$2 \cdot 1 = 2$
1	0	1		$2 \cdot 3 = 6$
2	0	2		$2 \cdot 5 = 10$
	1	0		$2 \cdot 1 = 2$
3	0	3		$2 \cdot 7 = 14$
	1	1		$2 \cdot (1+3) = 8$

M. Goeppert-Hoyer, A. Jensen.  $\Rightarrow$  fontos az SPK a magban.

$$V = V_{\text{ham. osc.}} + V_{\text{SPK}} \vec{e} \cdot \vec{s}$$

$$\vec{J} = \vec{L} + \vec{S} \Rightarrow J = \ell + \frac{1}{2}, \ell - \frac{1}{2} \quad (\ell = 0 \Rightarrow J = \frac{1}{2} \text{ szint})$$

ham. osc. nem érvényes eme a szint-re, SPK igen.

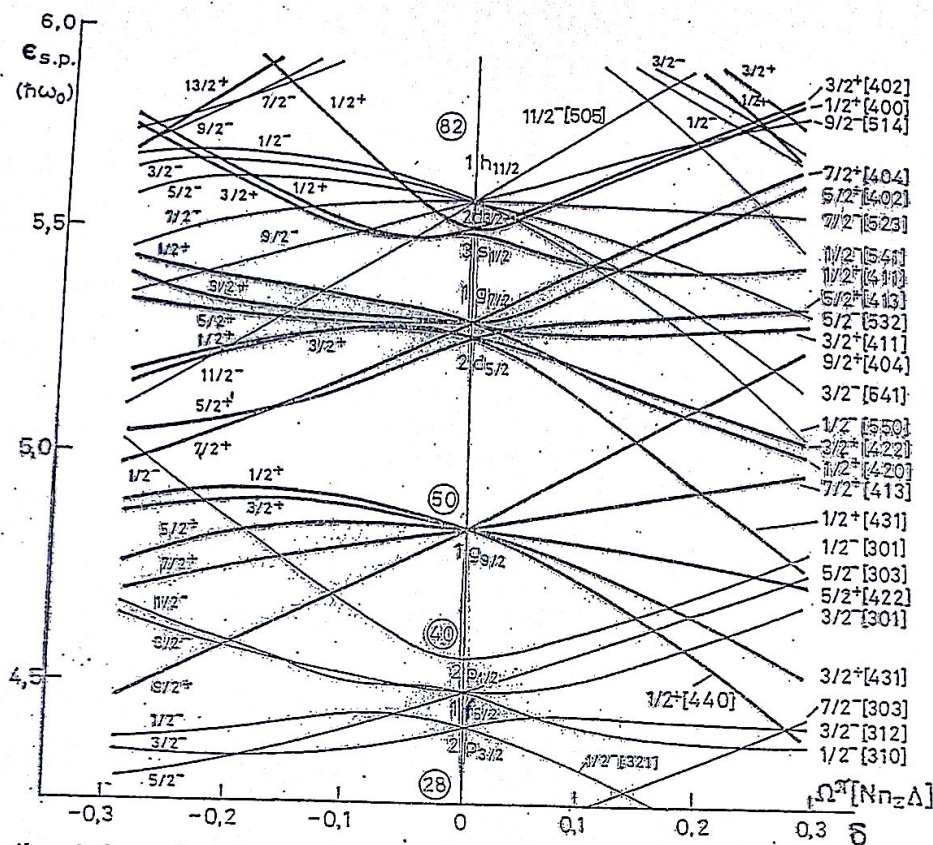
$$\langle J = \ell + \frac{1}{2} | \vec{e} \cdot \vec{s} | J = \ell + \frac{1}{2} \rangle$$

$$(\vec{L} + \vec{S})^2 = \vec{L}^2 + \vec{S}^2 + 2\vec{L} \cdot \vec{S}$$

$$\vec{L} \cdot \vec{S} = \frac{(\vec{L} + \vec{S})^2 - \vec{L}^2 - \vec{S}^2}{2} = \frac{J(J+1) - \ell(\ell+1) - \frac{3}{4}}{2}$$



# Hommag deformálása határára a kéjvölz szerkezete



VI. 7. ábra. Nilsson-diagram. Egyrészecske-energiák ( $\epsilon_{s.p.}$   $\hbar\omega_0 = 41 A^{-1/3}$  MeV egységekben) a  $\delta$  deformációs paraméter függvényében. [Nilsson 1955] alapján. A számításokat Bengtsson, Ragnarsson [1985] más tartományokra is kiterjesztette, külön a protonokra, külön a neutronokra és különböző  $e_2$  és  $e_4$  deformációs paraméterekre. L. [Firestone és mts. 1996].

- A maganyag összenyomhatatlan, a mag térfogata állandó.
- A maganyagban nincs sűrűlódás.

A részletes matematikai tárgyalás megtalálható pl. Nilsson eredeti munkájában [Nilsson 1955] vagy Nilsson, Ragnarsson [1995] könyvében.

Az egyrészecske-energiák ( $\epsilon_{s.p.}$ ) középnehéz magokra a VI. 7. ábrán láthatók a  $\delta$  deformációs paraméter függvényében. A jelek magyarázata a következő:

$$\delta = \epsilon_2 - (1/6)\epsilon_2^2, \quad \epsilon_2 = (c-a)/R_0,$$

ahol  $c$  és  $a$  az ellipszoid hosszabb, ill. rövidebb tengelyének félhossza,  $R_0$  azon gömb sugara, aminek a térfogata azonos az ellipszoidéval.  $\Omega$  és  $\Lambda$  a  $j$  és  $l$  vektorok vetülete a szimmetriatengelyre,  $j$  és  $l$  a részecske teljes, ill. keringési impulzusmomentuma.

$$N = n_x + n_y + n_z$$

247

Egyesített modell műveletűje

Nobel-díj A. Bohr B. Mottelson.

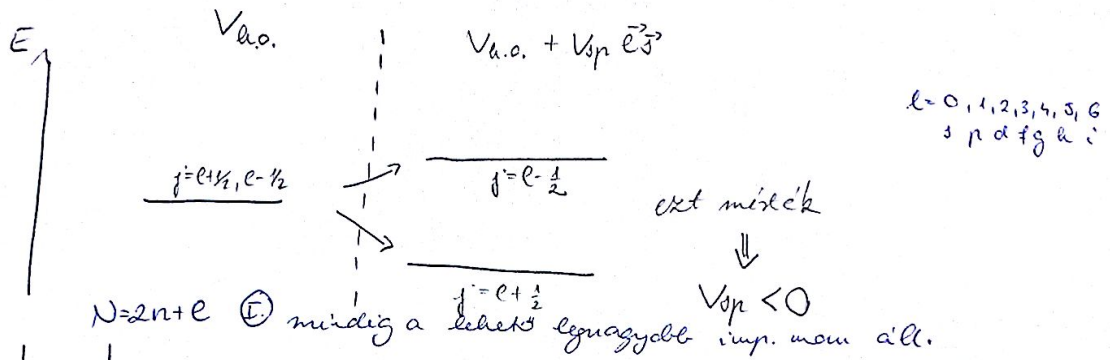


$$\langle e+\frac{1}{2} | \vec{e}\vec{e} | e+\frac{1}{2} \rangle = \frac{1}{2} \int \frac{e^2+2e+\frac{3}{4}}{j(j+1)} - \frac{e^2+e}{e(e+1)} - \frac{\frac{3}{4}}{j(j+1)} =$$

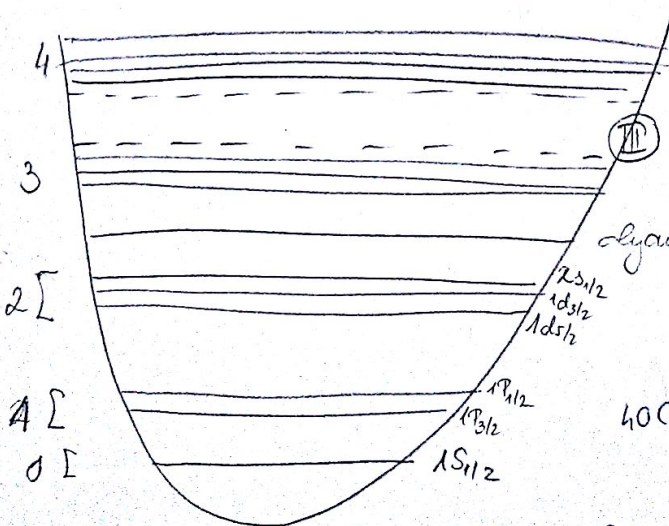
$$= \frac{1}{2} e$$

$$\langle e-\frac{1}{2} | \vec{e}\vec{e} | e-\frac{1}{2} \rangle = \frac{1}{2} \int \frac{e^2-\frac{1}{4}}{(e-\frac{1}{2})(e+\frac{1}{2})} - \frac{e^2+e}{e(e+1)} - \frac{\frac{3}{4}}{j(j+1)} =$$

$$= -\frac{1}{2}(e+1)$$



N	0	1	2	3	4	5	6
n	0	0	0	1	0	1	2
l	0	1	2	0	3	1	4
j	$\frac{1}{2}$	$\frac{3}{2}$	$\frac{1}{2}$	$\frac{5}{2}$	$\frac{3}{2}$	$\frac{1}{2}$	$\frac{7}{2}$
(III) l. p. számok j. elől	1s <sub>1/2</sub>	1p <sub>3/2</sub>	1p <sub>1/2</sub>	1d <sub>5/2</sub>	1d <sub>3/2</sub>	1s <sub>1/2</sub>	1f <sub>7/2</sub>
állapok száma (2j+1)	2	4	2	6	4	2	8
Σn	2	8	20	28	50	82	126



változban nem ilyen a sorrend, de így könnyű megfigyelni

olyan tárol, h. szűkít ki (II) 1f<sub>7/2</sub> szűkít ki a legkisebbet az első két sor

$$hca: p: (1s_{1/2})^2 (1p_{3/2})^4 (1p_{1/2})^2 (1d_{5/2})^6 (1d_{3/2})^4 (2s_{1/2})^2$$

N: 11  
 hf: 208pg 82p, 126n



2012. 11. 27.

Kiválasztási szabályok β-komlóbban



En

~  
pályaperdület színműve

$$L=0$$

минер. удобр., амид

$$\mathcal{L} = 1$$

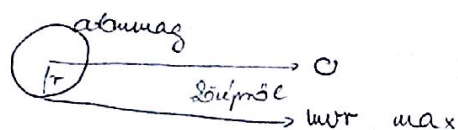
Secretle' megenzoletti az

$$l = 2$$

abneut

$$\vec{S}_L = \vec{S}_e + \vec{S}_p + \vec{L}_{\text{spin}} \rightarrow \text{spätyperdukt}$$

Heute alles sehr



Ha most egyre nagyobb  $\Rightarrow$  ideális

Allylido:

Spina Nuova

Quantum

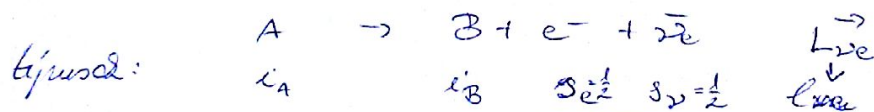
$$\} \ell$$

$$L_x \rightarrow l^{\text{th}}$$

$$L^2 \rightarrow e(e+1)\hbar^2$$

 $-(p-1)u$ 

-2



Termi típusú  $\beta$ -bomlás

$\frac{1}{2} \otimes \frac{1}{2} = 0 \oplus 1$   
 $\begin{matrix} 1\uparrow & 1\uparrow & 1\downarrow & 1\uparrow \\ 1\downarrow & 1\downarrow & \text{singlet} & 1\downarrow \end{matrix} \Rightarrow \text{triplet}$

2 lepkén együttes színje: 0

Gamau-Teller  $\beta$ -bomb's

2 lepton együttes spinje: 1



$$\vec{A} = \vec{B} + \vec{C}$$

$$|a-b| \leq c \leq |a+b|$$

Melegy:  $i_A$  és  $i_B$  for. ebben  $e$ ?

Fermi:

$$s_L = C + e = e$$

$$\vec{I}_A = \vec{I}_B + \vec{S}_L$$

$$|i_A - i_B| \leq e \leq |i_A + i_B|$$

megengedett átmenet :  $e=0 \Rightarrow i_A = i_B$

$e \rightarrow \Delta i$  engedett rendben  
tört

Probléma lehet: Pantá's

$$A \rightarrow B + e^- + \tilde{\nu}_e \quad L_{ve}$$

$$\pi_A = \pi_B \cdot (-1)^e$$

$$\frac{\pi_A}{\pi_B} = \Delta \pi = (-1)^e$$

$e^-$  és  $\nu$  pantá'sa  
mire 1???

$$\Delta i = 0 \quad e's \quad \frac{\pi_A}{\pi_B} = 1$$

Gamow-Teller

$$s_{L+ne} \quad \vec{I}_A = \vec{I}_B + \underbrace{\vec{S}_e + \vec{S}_p}_{\vec{S}_{ep} = \vec{I}} + \vec{S}_L$$

$$|e-1| \leq s_e \leq |e+1| \quad \text{ha} \quad \Delta i = |i_A - i_B| = 1$$

$$|i_A - i_B| \leq s_e \leq |i_A + i_B|$$

$$1 \quad e=0 \quad s_e=1$$

megengedett lehet

"jó! megalapozottan"



1. legkisebb értéke amelyre a folyamat lehetséges  
 lesz a töltődő félrendsze.

$$n \rightarrow p^+ + e^- + \bar{\nu}_e$$

$$\frac{1}{2}^+ \quad \frac{1}{2}^+$$

$$\Delta i = |i_A - i_B| = 0$$

$$\frac{\pi_A}{\pi_B} = 1$$

} megengedett  
 $e \uparrow \downarrow \bar{\nu}_e$        $e \uparrow \uparrow \bar{\nu}_e$

párhuzamos spin

$$\left| \frac{1}{2} - \frac{1}{2} \right| \leq 0_e \leq \left| \frac{1}{2} + \frac{1}{2} \right|$$

$$0, 1$$

$$|l-1| \leq 0_e \leq |l+1|$$

kevés átmenet

Magnetsciók

### 1. Energia szerint

- $E_1$ : Coulomb-gát (elektron-e?)

2 proton összehúzóere:

$$\frac{k e^2}{2 \text{ fm}} = \frac{1.44 \text{ MeV fm}}{2 \text{ fm}} = 720 \text{ eV}$$

$E_1 \approx 1 \text{ MeV} \rightarrow 1 \text{ MeV}$  felett kell lennie  
 1. van der Graaf

- Fermi-energia

$$33 \text{ MeV} \quad E_F \approx 50 \text{ MeV}$$

legnagyobb energiájú energia kötött állapotban.

szabad nukleon modell (gáz)

$$n + p \text{ szabás} \rightarrow E_p = E_0 \cos \varphi$$

nagy ütközési sebesség  $\Rightarrow$  nagy sebesség



# Magfizika

$E_{\text{co}}$  } disszipálódik az  $E$  (átágfőr)  
 $\pi$  mezonok felvételével

$E_T$

N-N ütközések

$$\lambda = \frac{h}{p} = \frac{2\pi}{k}$$

$$E = m_{\pi} c^2$$

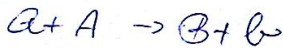
nukleonok hullámhossza

$$\lambda = \frac{h}{p} = \frac{hc}{pc} = \frac{hc}{\sqrt{2mE}c} = \frac{hc}{\sqrt{2mc^2 E}} = \frac{197 \text{ MeV fm}}{\sqrt{2 \cdot 938 \text{ MeV} \cdot E}} = \frac{6 \cdot 197}{6} = 20 \text{ fm}$$

$E_{\text{BOMB}} / A$	
alacsony	1 MeV $\lambda_N > R$
	50 MeV
közepes	150 MeV $\lambda \approx R$
	1 GeV $\lambda \ll R$
relativisztikus	

## Diszkrét magmodell

alacsony energiák ütközései



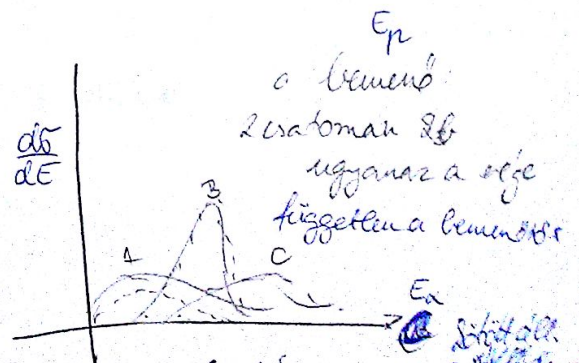
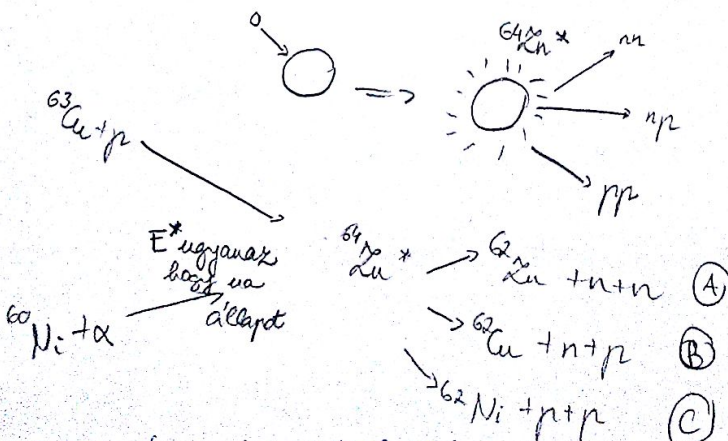
$$E_a + m_a c^2 + m_A c^2 = m_b c^2 + E^* \text{ (energia)}$$

$$m_b < m_A + m_a \quad E^* > E_a$$

$$m_b > m_A + m_a \quad E^* < E_a$$

Génerál. kísérlet

diszkrét mag gerjesztett állapotban majd elbomlik





neutron és proton rögzülési TKP megegyezően -65- stabilabb, a az egyes neutronok nem



Magradciök

Hand-drawn schematic diagram of a particle detector system. A beam of particles enters from the top left, passes through a rectangular block labeled '2', and then enters a circular region labeled 'szőrkamra'. Inside the circle, the beam splits into several paths. Labels include 'mágnes: töltés / tömegarány', 'Leválasztás', 'szőrkamra', 'deflektoral', 'energia mérés, szög eloszlás', and 'fragment separator'.

megsejtes: előre nagy veség  
 megsejtes: utólag



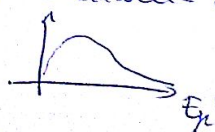
магдан  $n \leftrightarrow n$  ..

$$n \leftrightarrow n \quad \pi \text{ kleiner als}$$

hőleghűtő radció  $\Rightarrow$  melegítés  $\rightarrow$  olvadást  
vagy ki

2. energiaceloxla's

Ökorelevanz: mittels a) probu epidemiologie  
probu gipf, druck new  
Coulomb Maxwell-Boltzmann  
elastis



T "homestead"

geringerer energia

direct: Sötéi lurgia di l'ombregel hoxaaddodnas  
a gaxtadad -66- Sötéi lurgasi

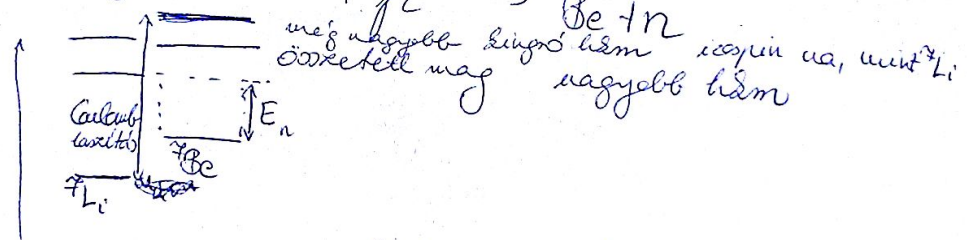


Értékei e. szűkítésg  $\approx n$  megegyezik.

### 3. Megmaradási tételek

- Energia megm. (időeltolódás inv.)
- Impulzusmegmaradás (eltolás inv.)
- Töltség
- Impulzusmomentum (forgás inv.)
- Paritás (szimmetria megm.)
- Isotópia (térkép)
- Paritás (térkép)
- Izotópia (magok kölcsönhatásai)

vanak olyan magreakciók, melyek nagy valószínűséggel megegyeznek

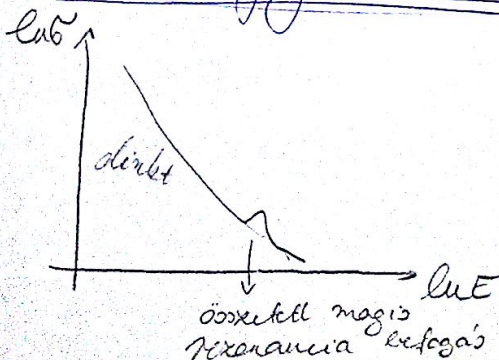


adott energiánál

${}^7\text{Li}$  mellett elhelyez egy proton,  ${}^8\text{Be}$  mellett elhelyez ugyanazon a pályán marad neutron nagy valószínűséggel, izotópia megmarad

Isotópia analóg rezonancia.

### 4. Neutronbefogási reakciók



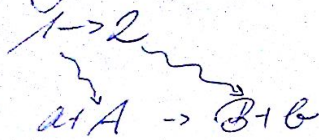
$\ln$ - $\ln$  skálán meredekség:  $-1/2$

4.1.  $\frac{1}{v}$  törvény

$$\frac{1}{v}$$



# ① Branyosabaly



$$A(a, b) B$$

$$W_2 = \frac{h^2}{2m} \underbrace{|\langle \psi_1 | H | \psi_2 \rangle|^2}_{M_{12}} f(E_2)$$

állapotok sűrűsége  
egységnyi energiaintervallumban (dE)

Multiplisitás  
atomok részecské

$E_2$  oE sugár sűrűségében az  
állapotok száma

$$dn = N_{\text{állapot}}(E_2, E_2 + dE)$$

$$f(E_2) = \underbrace{g_2}_{\text{spin}} \cdot \underbrace{f(E_2)}_{\text{f}}(E_2)$$

③  $\sigma \leftarrow W$

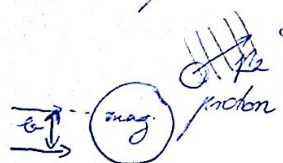
$$\dot{N}_r = \underbrace{\sigma}_{\text{cross section}} \cdot \underbrace{v}_{\text{velocity}} \cdot N_c = \sigma \frac{N_c}{V} v N_c$$

$$W = \frac{\dot{N}_r}{N_c} = \frac{\sigma v}{V} \Rightarrow \sigma = \frac{W}{v V}$$

③  $W = M_{12}$

$L_x L_y L_z$   
állapotok száma

(n, p) reakció



síkhullám

1 szabad paraméter:  $\ell$

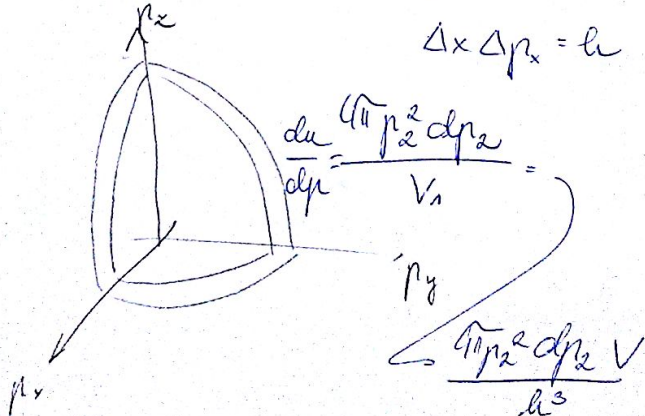
1 szab. pár. = ismétlődés mértéke

$$\Delta x \Delta p_x = h$$

$$\Delta p_x = \frac{h}{\Delta x}$$

$$V_1 = \Delta p_x \Delta p_y \Delta p_z = \frac{h^3}{V}$$

legnagyobb lehet az  
még a legkisebb impulzusok



$$\frac{dn}{dp} = \frac{4\pi p^2 dp}{V_1} =$$

$$\frac{4\pi p^2 dp}{h^3} V$$



$$\frac{da}{dE} = \frac{dn}{dp} \frac{dp}{dE} = (\dots) \frac{4\pi}{h^3} p_2^2 \frac{dp_2}{dE_2} V$$

$$\tilde{b} = \frac{w}{v_1} V = (\dots) \frac{4\pi}{h^3} \frac{V^2}{v_1} \frac{dp_2}{dE_2} p_2^2 = (\dots) \frac{p_2^2}{h v_1} \approx \frac{1}{v_1}$$

$$\frac{dE}{dp} = \frac{d(p^2)}{2p dp}$$

$$\frac{p}{m} = v$$

$$\frac{dp}{dE} = \frac{1}{v}$$

$$E_n < 1 \text{ MeV}$$

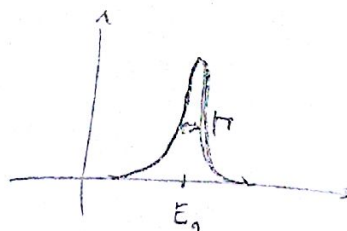
$$Q > 5 \text{ MeV}$$

$$E_n < E_2$$

ettől alig függ  $p_2$ ,  $\tilde{b}$  konstans ( $E_n$ )  
 $v_2 \approx \text{konstans } (E_n)$

~~Lorentz-formula~~

$$\frac{1}{(E - E_0)^2 + \frac{\Gamma^2}{4}}$$



$$\psi(\underline{x}, t) = \psi(\underline{x}) e^{-\frac{i}{\hbar} E t}$$

sajátállapot (stac. áll.)

$$|\psi|^2 = \text{const}(t) \quad \text{stac. áll.}$$

összeáll mag nem sajátállapot

$$\psi(\underline{x}, t) = \psi(\underline{x}) e^{-\frac{i}{\hbar} E t} e^{-\frac{\Gamma}{2\hbar} t}$$

$$\psi(\underline{x}, t) = \int \underbrace{f(E)}_{\text{szűkebb sajátállapotok}} \underbrace{\psi_E(\underline{x}, t)}_{\text{stac. áll.}} dE = \int f(E) e^{-\frac{i}{\hbar} E t} dE$$



$$f(E) = \mathcal{F}^{-1}(\mathcal{H}(t)) \rightarrow f(E)$$

inverz Fourier transzformáció

$$|f(E)|^2 = \rho(E) \quad \text{bomló \& allapok energiatartáléka}$$

$$N = \sum_i s_i n_i \quad N = \omega_i n_i$$

$$p(\omega_i) = g_i^2$$

$$\frac{1}{\sqrt{2\pi}} \int_{-\infty}^{\infty} e^{-\frac{t}{2\tau}} e^{\frac{i}{\hbar} E t} dt = (\dots) \frac{1}{E + i \frac{\hbar}{2\tau}}$$

$$= \frac{1}{\sqrt{2\pi}} \int_{-\infty}^{\infty} e^{-(\frac{1}{2\tau} - \frac{E}{\hbar})t} dt$$

$$\text{h.t. } n \rightarrow A$$

$$|f(E)|^2 = \frac{1}{E^2 + \left(\frac{\hbar}{2\tau}\right)^2}$$

rezonancia szélessége

2. all. : állandó mag -  $\mathcal{L}^*$

$$W_{12} = M_{12}^2 f(E) = M_{12}^2 g^2 \frac{1}{(E-E_0)^2 + \Gamma^2} \cdot (\dots)$$



jan. 4.

Részletes egyenletileg elve

$$W_{12} = \frac{\hbar^2}{2m} |\langle \psi_1 | H | \psi_2 \rangle|^2 \rho(E_2) \frac{dN}{dE_2}(E_2) \frac{\sigma_{12} v_1}{V}$$

|| hermitikus H

$$W_{21} = \frac{\hbar^2}{2m} |\langle \psi_2 | H | \psi_1 \rangle|^2 \rho(E_1) \frac{dN}{dE_1}(E_1) = \frac{\sigma_{21} v_2}{V}$$

$\omega \leftrightarrow \sigma$

$$\dot{N}_r = \sigma_j \cdot N_c = \sigma_j \cdot \rho \cdot v \cdot N_c$$

↓  
átlaggy

ha  $N_{BE} = 1, N_c = 1$

$$\dot{N}_r = W = \sigma \frac{N_{BE}}{V} v N_c$$

$$W = \frac{\sigma \sigma}{V}$$

$$\frac{N_{12} \rho(E_2)}{N_{21} \rho(E_1)} = \frac{\sigma_{12} v_1}{\sigma_{21} v_2} \rightarrow \sigma_{21} = \sigma_{12} \frac{v_1}{v_2} \frac{\rho(E_1)}{\rho(E_2)}$$

$\rho(E) \sim p^2 \frac{dp}{dE}$  bombázó sz.

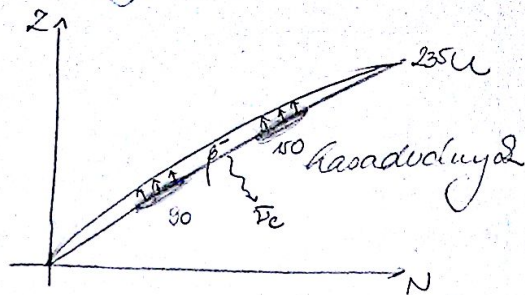
$\rho(E) \sim \frac{1}{(E-E_0)^2 + \frac{\Gamma^2}{4}}$  önkeltel mag  
 $\tau, \tau_{1/2}, \dots$

Maghasadá's

- spontán  $\Rightarrow {}^{240}\text{Pu}$
- termikus neutronok miatt  $\Rightarrow {}^{235}\text{U}$
- gyors neutronok miatt  $\Rightarrow {}^{238}\text{U}$  (Züröb. e. hasadá's  
páros páros)

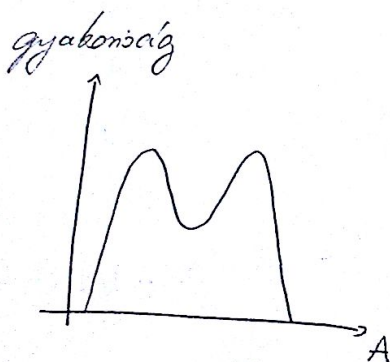


## Kasadohányó



Kör - neutronok és  $\gamma$

gyakorlati  $\gamma$



## Kis neutronok

• faktorok: szabályozás

$t$  idő amíg a kasadóból kikelő neutron  
a következő magot eléri  
↳ generációs idő  $t_{gen} \ll 1s$

• szabályozási idő:

amennyi idő alatt a biztonsági rendszer  
a megfelelő mélységig le tudja engedni  
 $t_{szab} \approx 1s$

## Kasadohányó neutron szubsztitúció

$f =$  reakciók:  $1 - \frac{N_i}{N_{i+1}}$   
szubsztitúció

$N_{i+1} > N_i$   
szubsztitúció

$\frac{N_i}{N_{i+1}} < 1 \quad f > 0$

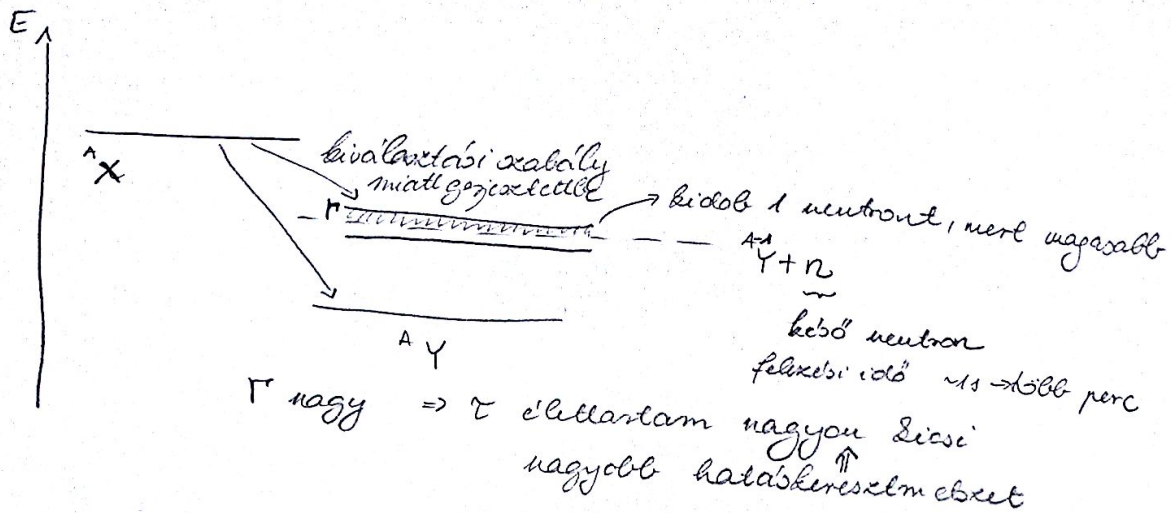
$N_i > N_{i+1}$   
szubsztitúció

$\frac{N_i}{N_{i+1}} > 1 \quad f < 0$



Hasadából  $\rho^{(a)} < 0$

keb neutron  $\rho^{(k)} + \rho^{(a)} = 0$



## Reaktor részei

- hasadó anyag
- moderátor
- hűtőközeg
- szabályozó rudak
- reflektor (visszaveri a neutronokat)

Paks  $^{235}\text{U}$   $^{241}\text{Am}$

víz

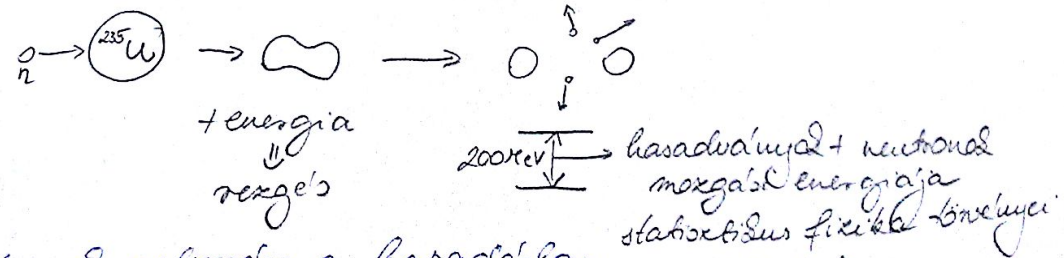
víz

Cd-acél

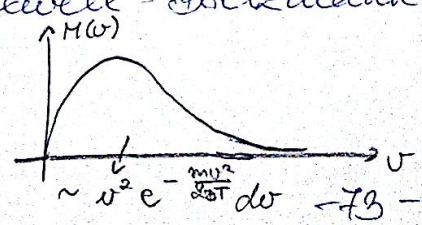
víz

## Moderátor

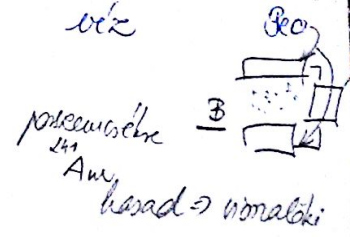
1-2 MeV-es neutronok leletékesed



neutronok sebessége a hasadóban Maxwell-Boltzmann sebességeloszlást követ

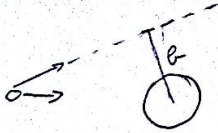


paraméter: hőmérséklet (T)  
itt  $k_B T \approx 1-2 \text{ MeV}$



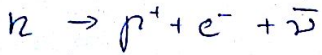


Lasítás



az a legnagyobb az  
impulzusátadás:

- ha centrális az ütközés
- kis tömegkülönbséggel ütközik  
(pl. proton)



$$E_0 = 780 \text{ keV} + \frac{511}{m_e} = 1291 \text{ keV} \approx 134 \text{ keV}$$

$$m_p = 938 \text{ MeV}$$

$$\frac{m_n - m_p}{m_p} \approx 1\%$$

termikus neutron

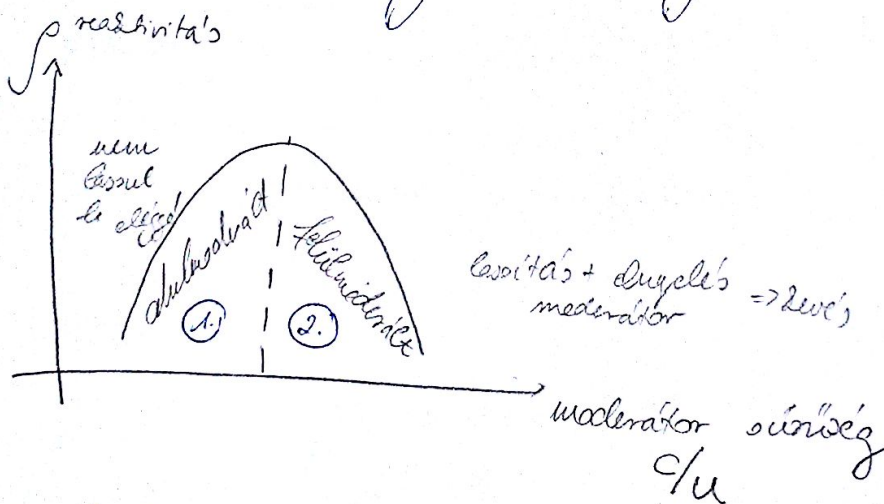
$$\frac{3}{2} kT \approx \frac{1}{40} \text{ eV} = 25 \text{ meV}$$

300K

általában B-t ütközik a neutron míg  
ilyen nem lesz (300°-os)

300°C-os víz  $\Rightarrow$  nagy nyomás 100 atm

hőnyomási tartállyal szabályozható



1. több neutron  $\Rightarrow$  több hasadás  $\Rightarrow$  hőmérséklet nő  
moderátor sűrűsége csökken  $\Rightarrow$  neutronfluxus csökken

2. több neutron  $\Rightarrow$  ~~kevesebb~~ neutronfluxus nő

$\rightarrow$  BIZTONSÁGOS